

# 日本国内における気候変動による影響の評価のための 気候変動予測について（お知らせ）

別添資料

2014/6/6

## 目次

---

1. 予測の背景及び目的
2. 整備された情報の内容
3. 整備された情報の特徴
  - ・将来気候の予測／気温
  - ・将来気候の予測／降水

### 【参考資料】

- I. 現在気候の再現性
- II. 予測結果のデータ管理
- III. RCPシナリオとは
- IV. バイアス補正について
- V. 地域分類・各地域の主な都市における各指標の平年値
- VI. 現在気候再現計算結果(例)

## 1. 予測の背景・目的

---

### ●予測の背景

- 政府全体の総合的、計画的な適応に係る取組を取りまとめる「適応計画」を平成27年度夏頃を目途に閣議決定する予定で検討を進めているところ。

### ●予測の目的

- 日本付近の詳細な気候変動予測を補足的に実施し、上記「適応計画」に向けた我が国における気候変動影響評価のための気候変動予測を行う。

なお、本予測は気象庁・気象研究所の協力の下で実施された。

## 2. 整備された情報の内容

---

### ●気候変動予測モデル

- 全球気候モデル(MRI-AGCM60:水平格子間隔60km)による計算を実施し、その結果から、日本周辺の気象条件を抽出し、地域気候モデル(MRI-NHRCM20:水平格子間隔20km)への入力として用いた。本計算は(独)海洋研究開発機構が運用する「地球シミュレータ(ES2)」を利用して実施した。

※気候モデル(MRI-AGCM60・MRI-NHRCM20)は気象庁気象研究所より提供

### ●解析計算の諸条件等

#### ● 予測計算期間

- 現在気候:1984年9月～2004年8月／将来気候:2080年9月～2100年8月

#### ● 将来予測シナリオ

- RCPの4シナリオ(RCP2.6/4.5/6.0/8.5)を想定

※RCPシナリオについては参考資料を参照

#### ● 将来の海面水温の状況

- IPCC第5次評価報告書において用いられた第5期結合モデル相互比較計画(CMIP5)データより作成された、3種の異なる特徴を有する海面水温の将来変化の空間パターン(SST1/SST2/SST3)を適用。なお、現在気候は観測データ(HadISST)を適用

※3種のSSTは文部科学省気候変動リスク情報創生プログラムテーマCより提供

#### ● 積雲対流スキーム

- 全球気候モデルにおいて、Yoshimura Scheme (YS)、Kain-Fritsch Scheme (KF)、Arakawa-Schubert Scheme (AS) の3種の積雲対流スキームを適用

## 2. 整備された情報の内容

### ● 予測計算ケース

- 現在気候3ケース、将来気候16ケースの計19ケースについて計算を実施した。予測に含まれる不確実性の程度を評価できるように、複数のケースを設定した。

※不確実性のすべての要素を説明しているわけではない。例えば、海面水温変化の不確実性についてはCMIP5データより3つのSSTを作成することで考慮している。一方、大気に関しては、降水過程に大きく影響する積雲対流スキームを3種類用いているものの、その他のコンポーネントは同一であるため、大気モデルによる気候予測に含まれる不確実性の全体を表現できてはいない。

| 番号 | 計算期間          | シナリオ           | 海面水温    | 積雲対流スキーム     | ケース名            |
|----|---------------|----------------|---------|--------------|-----------------|
| 1  | 現在気候<br>3ケース  | -              | HadISST | YS           | HPA_m02         |
| 2  |               |                | HadISST | KF           | HPA_kf_m02      |
| 3  |               |                | HadISST | AS           | HPA_as_m02      |
| 4  | 将来気候<br>16ケース | RCP8.5<br>9ケース | SST1    | YS           | HFA_rcp85_c1    |
| 5  |               |                | SST1    | KF           | HFA_kf_rcp85_c1 |
| 6  |               |                | SST1    | AS           | HFA_as_rcp85_c1 |
| 7  |               |                | SST2    | YS           | HFA_rcp85_c2    |
| 8  |               |                | SST2    | KF           | HFA_kf_rcp85_c2 |
| 9  |               |                | SST2    | AS           | HFA_as_rcp85_c2 |
| 10 |               |                | SST3    | YS           | HFA_rcp85_c3    |
| 11 |               |                | SST3    | KF           | HFA_kf_rcp85_c3 |
| 12 |               |                | SST3    | AS           | HFA_as_rcp85_c3 |
| 13 |               | RCP6.0<br>3ケース | SST1    | YS           | HFA_rcp60_c1    |
| 14 |               |                | SST2    | YS           | HFA_rcp60_c2    |
| 15 |               |                | SST3    | YS           | HFA_rcp60_c3    |
| 16 |               | RCP4.5<br>1ケース | SST1    | YS           | HFA_rcp45_c1    |
| -  |               |                | SST2    | YS           | HFA_rcp45_c2    |
| -  |               |                | SST3    | YS           | HFA_rcp45_c3    |
| 17 |               | RCP2.6<br>3ケース | SST1    | YS           | HFA_rcp26_c1    |
| 18 | SST2          |                | YS      | HFA_rcp26_c2 |                 |
| 19 | SST3          |                | YS      | HFA_rcp26_c3 |                 |

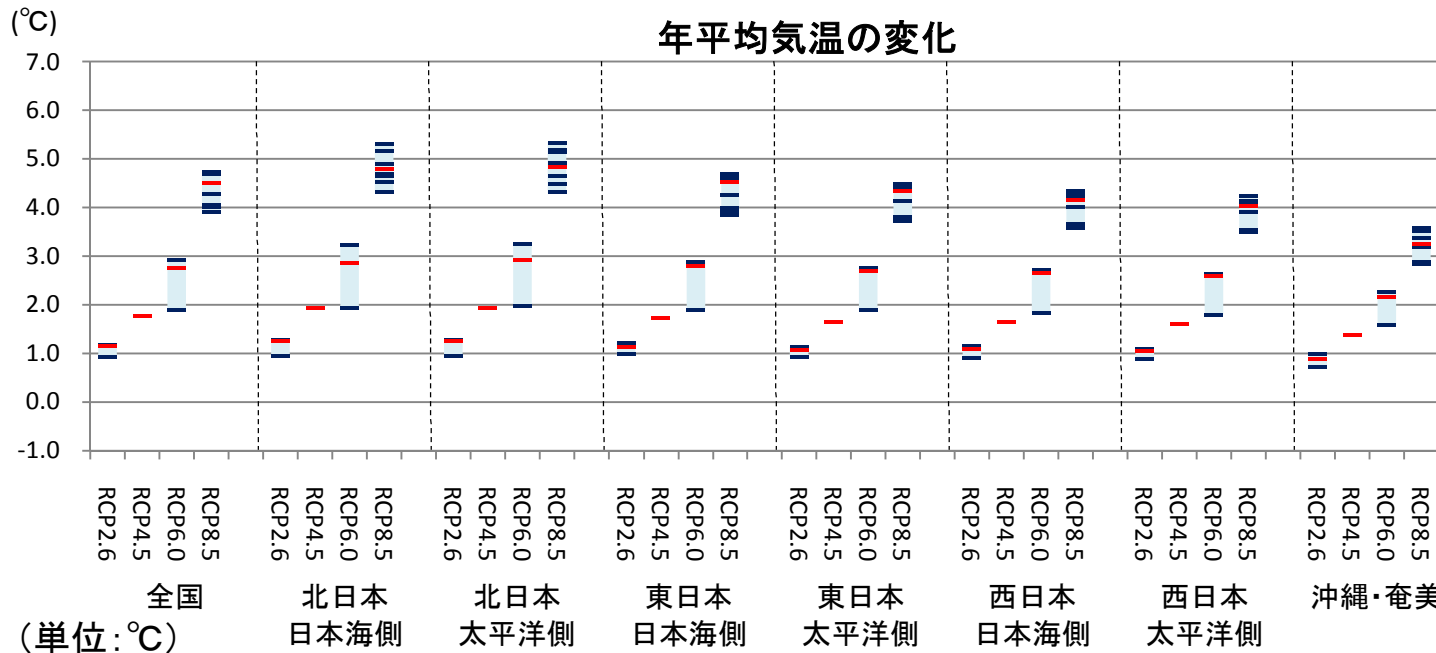
RCP4.5の2ケース(c2,c3)は平成26年度に計算を実施の予定

### 3. 整備された情報の特徴 将来気候の予測／気温(年平均気温の変化)

#### ● 年平均気温の変化

※地域区分については参考資料を参照

- 年平均気温は将来の温室効果ガス安定化レベルが高くなるほど上昇量大きい。全国では、RCP2.6で平均1.1°C(0.9~1.2°C)、RCP8.5で平均4.4°C(3.9~4.7°C)の上昇が見られる。(現在気候との比較、以降同様)



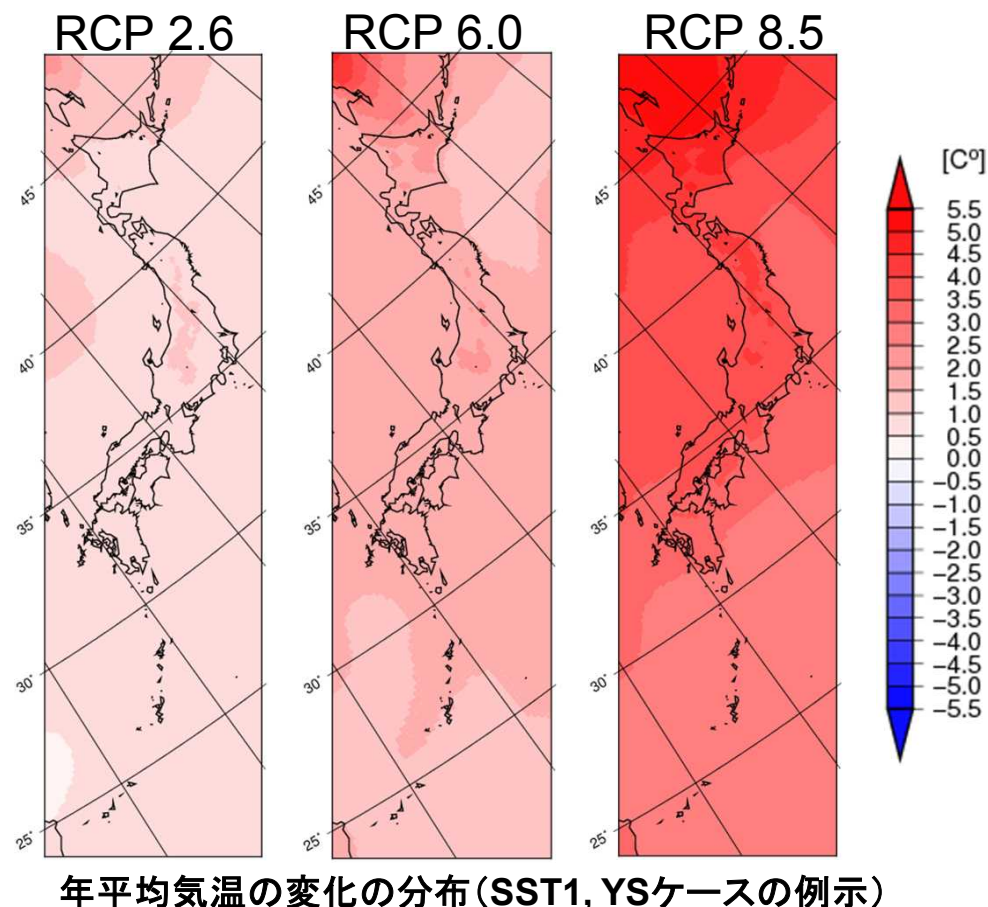
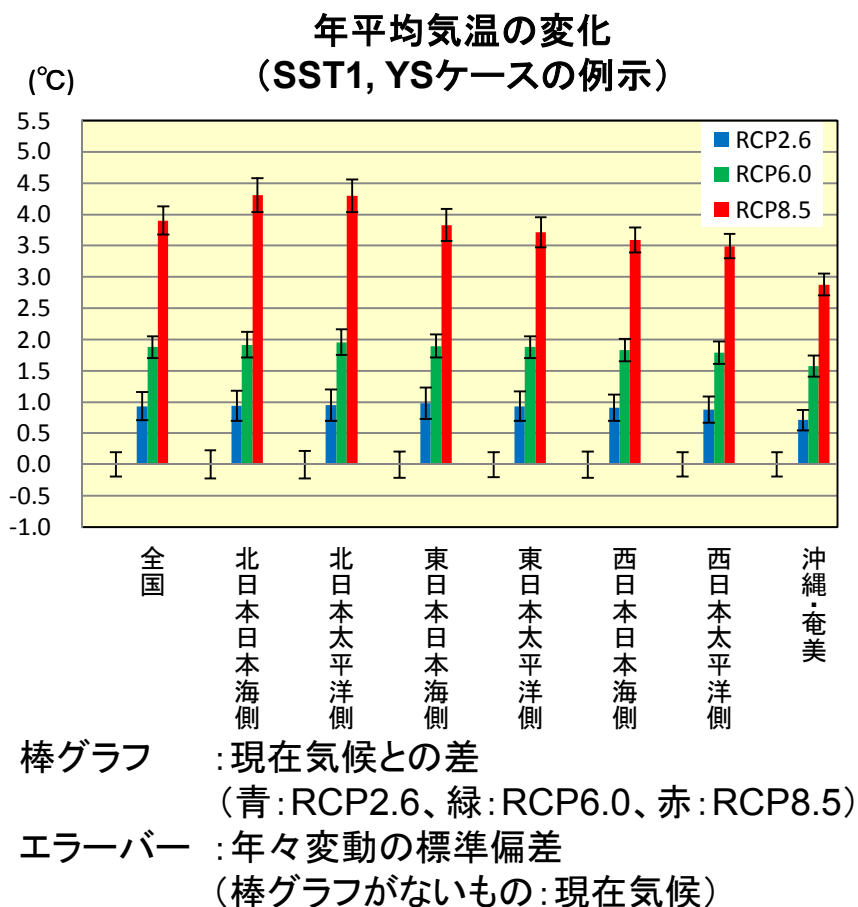
|              | 全国            | 北日本<br>日本海側   | 北日本<br>太平洋側   | 東日本<br>日本海側   | 東日本<br>太平洋側   | 西日本<br>日本海側   | 西日本<br>太平洋側   | 沖縄・奄美         |
|--------------|---------------|---------------|---------------|---------------|---------------|---------------|---------------|---------------|
| RCP2.6       | 1.1 (0.9~1.2) | 1.2 (0.9~1.3) | 1.2 (1.0~1.3) | 1.1 (1.0~1.2) | 1.0 (0.9~1.1) | 1.1 (0.9~1.2) | 1.0 (0.9~1.1) | 0.9 (0.7~1.0) |
| RCP4.5       | 1.8           | 1.9           | 1.9           | 1.7           | 1.7           | 1.7           | 1.6           | 1.4           |
| RCP6.0       | 2.5 (1.9~2.9) | 2.7 (1.9~3.2) | 2.7 (2.0~3.3) | 2.5 (1.9~2.9) | 2.4 (1.9~2.8) | 2.4 (1.8~2.7) | 2.3 (1.8~2.6) | 2.0 (1.6~2.3) |
| RCP8.5       | 4.4 (3.9~4.7) | 4.8 (4.3~5.3) | 4.8 (4.3~5.3) | 4.3 (3.8~4.7) | 4.2 (3.7~4.5) | 4.0 (3.6~4.4) | 3.9 (3.5~4.2) | 3.2 (2.8~3.6) |
| (参考都市例)      | -             | 札幌            | 釧路            | 新潟            | 東京            | 福岡            | 大阪            | 那覇            |
| 上記都市の<br>平年値 | -             | 8.9           | 6.2           | 13.9          | 16.3          | 17.0          | 16.9          | 23.1          |

モデル計算結果の現在気候をベースにした変化量の地域平均と、一地点の観測値である平年値とは、単純に比較できるものではない。また、都市例は代表的な都市をあげているが、地域の気候の代表値ではない。

### 3. 整備された情報の特徴 将来気候の予測／気温(年平均気温の変化)

#### ●年平均気温の変化の地域分布

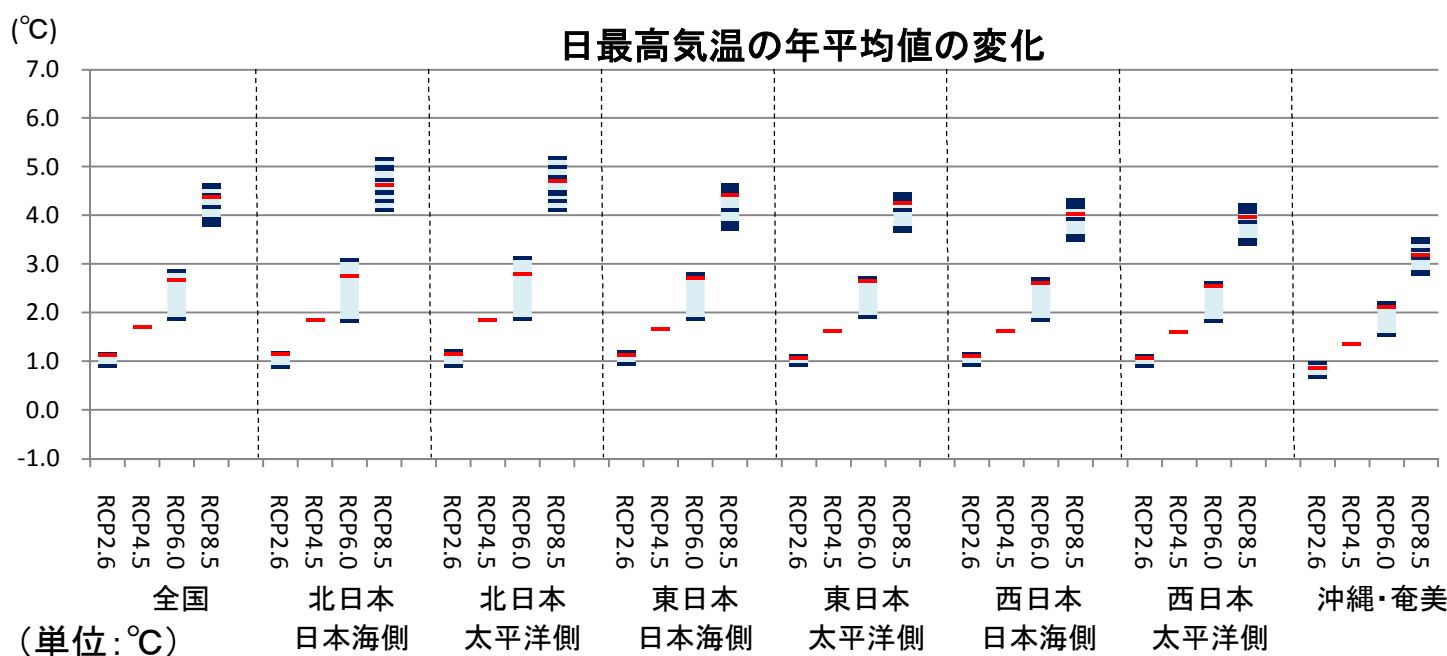
- 年平均気温は全国的に上昇し、上昇幅は年々変動幅より概ね大きい。特に北日本での温度上昇幅が大きく、沖縄・奄美は比較的小さい。
- 以下に、SST1,YSケースの計算結果を例示する。



### 3. 整備された情報の特徴 将来気候の予測／気温（日最高気温の変化）

#### ●日最高気温の年平均値の変化

- 日最高気温の年平均値は将来の温室効果ガス安定化レベルが高くなるほど上昇量が大きい。全国では、RCP2.6で平均1.1℃(0.9～1.1℃)、RCP8.5で平均4.3℃(3.8～4.6℃)の上昇が見られる。



<アンサンブルメンバ数>

- RCP2.6: 3ケース
- RCP4.5: 1ケース
- RCP6.0: 3ケース
- RCP8.5: 9ケース

グラフの青線及び赤線は各ケースにおける将来気候の予測(2080～2100年平均)と現在気候(1984～2004年平均)との差、赤線は各シナリオにおける中央値を示す。薄い青でケース間の幅を示す(各シナリオにおける不確実性を示すものではない)。

下表に、各シナリオにおける全ケースの平均値、括弧内に全ケースの下端と上端(年々変動等を含めた不確実性の幅ではない)を示す。また、参考として各地域の一都市における平年値(1981～2010年平均)を例示する。

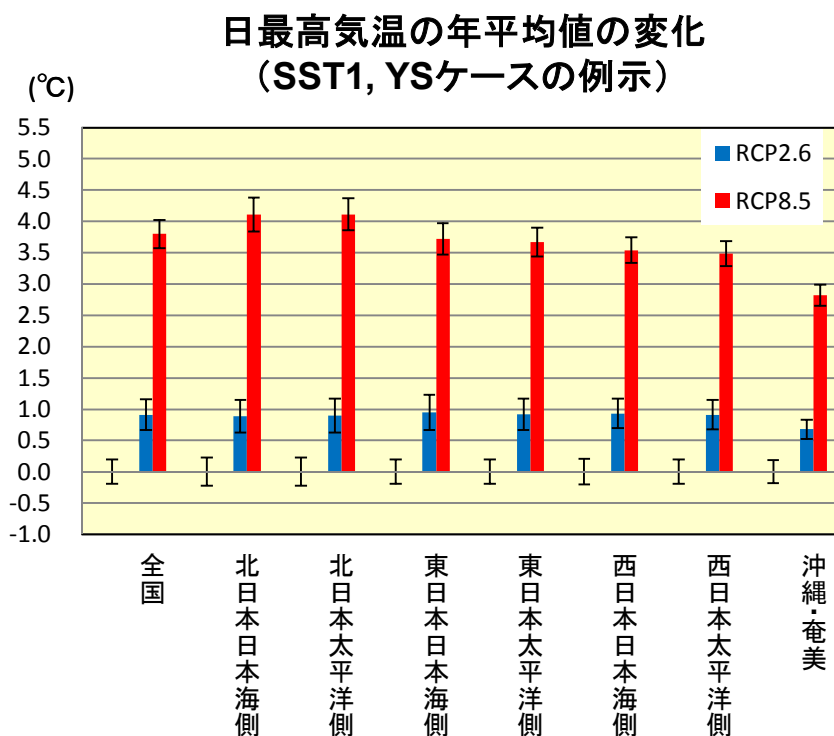
|              | 全国            | 北日本<br>日本海側   | 北日本<br>太平洋側   | 東日本<br>日本海側   | 東日本<br>太平洋側   | 西日本<br>日本海側   | 西日本<br>太平洋側   | 沖縄・奄美         |
|--------------|---------------|---------------|---------------|---------------|---------------|---------------|---------------|---------------|
| RCP2.6       | 1.1 (0.9～1.1) | 1.1 (0.9～1.2) | 1.1 (0.9～1.2) | 1.1 (1.0～1.2) | 1.0 (0.9～1.1) | 1.1 (0.9～1.2) | 1.0 (0.9～1.1) | 0.8 (0.7～1.0) |
| RCP4.5       | 1.7           | 1.8           | 1.8           | 1.7           | 1.6           | 1.6           | 1.6           | 1.4           |
| RCP6.0       | 2.5 (1.9～2.9) | 2.6 (1.8～3.1) | 2.6 (1.9～3.1) | 2.5 (1.9～2.8) | 2.4 (1.9～2.7) | 2.4 (1.9～2.7) | 2.3 (1.8～2.6) | 2.0 (1.6～2.2) |
| RCP8.5       | 4.3 (3.8～4.6) | 4.6 (4.1～5.2) | 4.7 (4.1～5.2) | 4.2 (3.7～4.6) | 4.1 (3.7～4.4) | 3.9 (3.5～4.3) | 3.9 (3.4～4.2) | 3.2 (2.8～3.5) |
| (参考都市例)      | -             | 札幌            | 釧路            | 新潟            | 東京            | 福岡            | 大阪            | 那覇            |
| 上記都市の<br>平年値 | -             | 12.9          | 10.2          | 17.6          | 20.0          | 20.9          | 21.1          | 25.7          |

モデル計算結果の現在気候をベースにした変化量の地域平均と、一地点の観測値である平年値とは、単純に比較できるものではない。また、都市例は代表的な都市をあげているが、地域の気候の代表値ではない。

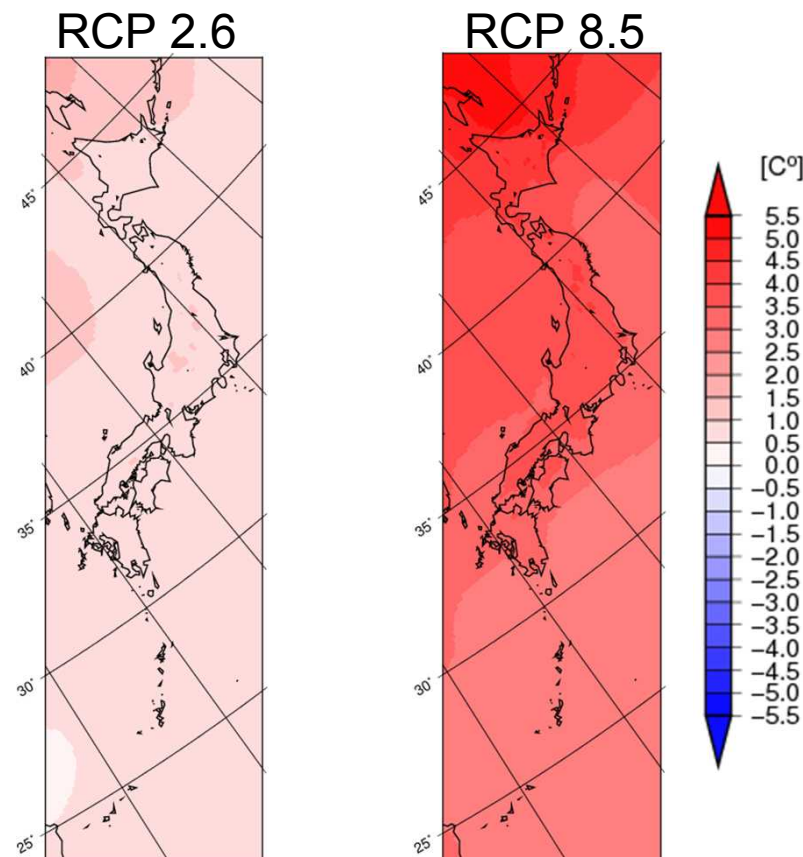
### 3. 整備された情報の特徴 将来気候の予測／気温(日最高気温の変化)

#### ●日最高気温の年平均値の変化の地域分布

- 日最高気温の年平均値は全国的に上昇し、上昇幅は年々変動幅より概ね大きい。特に北日本での温度上昇幅が大きく、沖縄・奄美は比較的小さい。
- 以下に、SST1,YSケースの計算結果を例示する。



棒グラフ : 現在気候との差(青:RCP2.6、赤:RCP8.5)  
 エラーバー : 年々変動の標準偏差  
 (棒グラフがないもの: 現在気候)

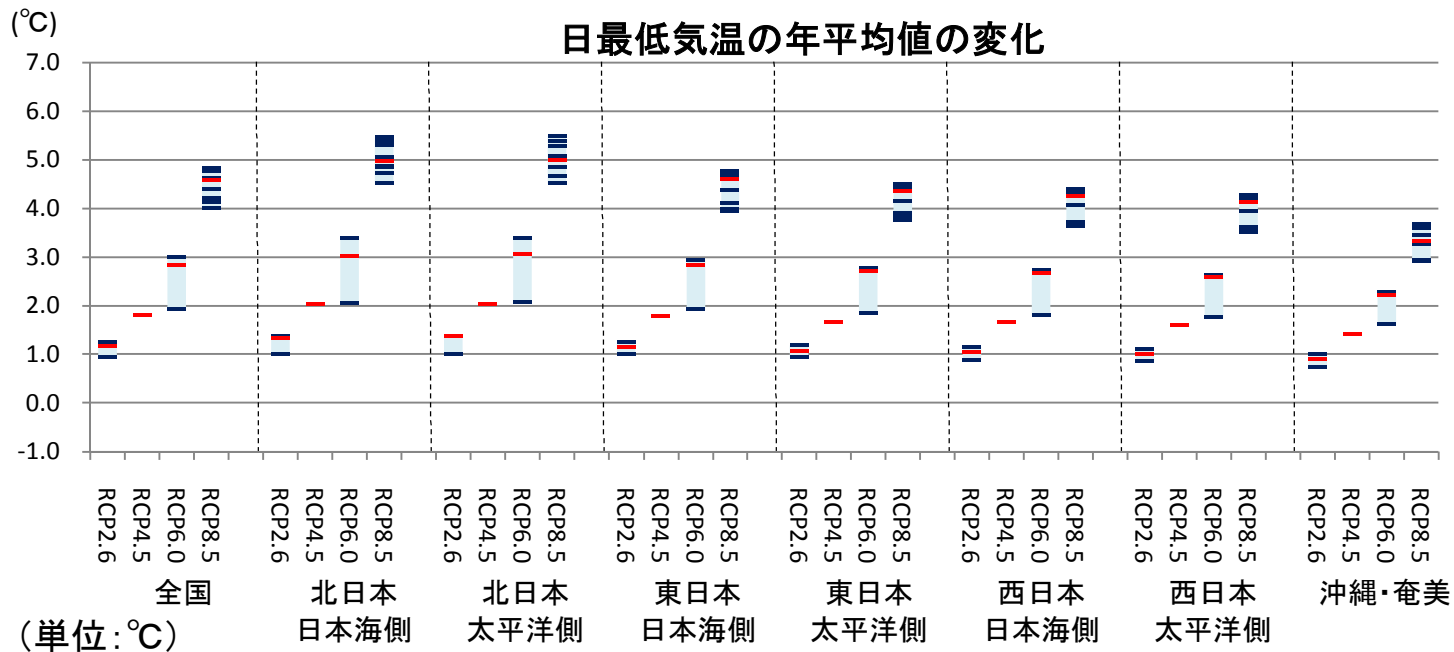


日最高気温の年平均値の変化の分布(SST1, YSケースの例示)

### 3. 整備された情報の特徴 将来気候の予測／気温(日最低気温の変化)

#### ●日最低気温の年平均値の変化

- 日最低気温の年平均値は将来の温室効果ガス安定化レベルが高くなるほど上昇量が大きい。全国では、RCP2.6で平均1.1℃(1.0～1.2℃)、RCP8.5で平均4.5℃(4.0～4.8℃)の上昇が見られる。



<アンサンブルメンバ数>

- RCP2.6: 3ケース
- RCP4.5: 1ケース
- RCP6.0: 3ケース
- RCP8.5: 9ケース

グラフの青線及び赤線は各ケースにおける将来気候の予測(2080～2100年平均)と現在気候(1984～2004年平均)との差、赤線は各シナリオにおける中央値を示す。薄い青でケース間の幅を示す(各シナリオにおける不確実性を示すものではない)。

下表に、各シナリオにおける全ケースの平均値、括弧内に全ケースの下端と上端(年々変動等を含めた不確実性の幅ではない)を示す。また、参考として各地域の一都市における平年値(1981～2010年平均)を例示する。

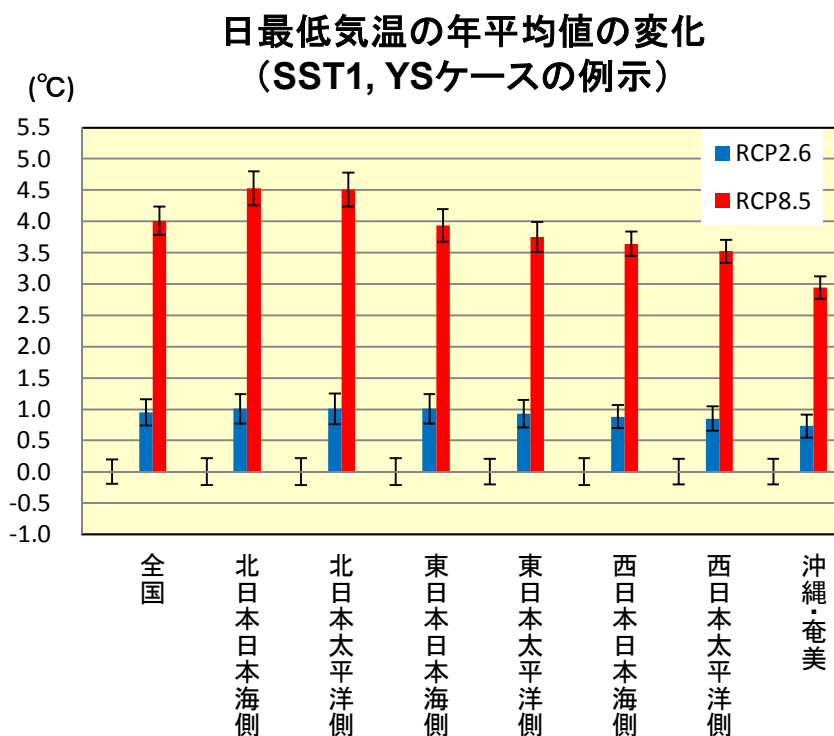
|              | 全国            | 北日本<br>日本海側   | 北日本<br>太平洋側   | 東日本<br>日本海側   | 東日本<br>太平洋側   | 西日本<br>日本海側   | 西日本<br>太平洋側   | 沖縄・奄美         |
|--------------|---------------|---------------|---------------|---------------|---------------|---------------|---------------|---------------|
| RCP2.6       | 1.1 (1.0～1.2) | 1.2 (1.0～1.4) | 1.2 (1.0～1.4) | 1.1 (1.0～1.3) | 1.1 (0.9～1.2) | 1.0 (0.9～1.2) | 1.0 (0.9～1.1) | 0.9 (0.7～1.0) |
| RCP4.5       | 1.8           | 2.0           | 2.0           | 1.8           | 1.7           | 1.7           | 1.6           | 1.4           |
| RCP6.0       | 2.6 (1.9～3.0) | 2.8 (2.1～3.4) | 2.8 (2.1～3.4) | 2.6 (1.9～2.9) | 2.4 (1.9～2.8) | 2.4 (1.8～2.7) | 2.3 (1.8～2.6) | 2.0 (1.6～2.3) |
| RCP8.5       | 4.5 (4.0～4.8) | 5.0 (4.5～5.5) | 5.0 (4.5～5.5) | 4.4 (3.9～4.8) | 4.2 (3.8～4.5) | 4.1 (3.6～4.4) | 4.0 (3.5～4.3) | 3.3 (2.9～3.7) |
| (参考都市例)      | -             | 札幌            | 釧路            | 新潟            | 東京            | 福岡            | 大阪            | 那覇            |
| 上記都市の<br>平年値 | -             | 5.3           | 2.3           | 10.6          | 13.0          | 13.6          | 13.3          | 20.8          |

モデル計算結果の現在気候をベースにした変化量の地域平均と、一地点の観測値である平年値とは、単純に比較できるものではない。また、都市例は代表的な都市をあげているが、地域の気候の代表値ではない。

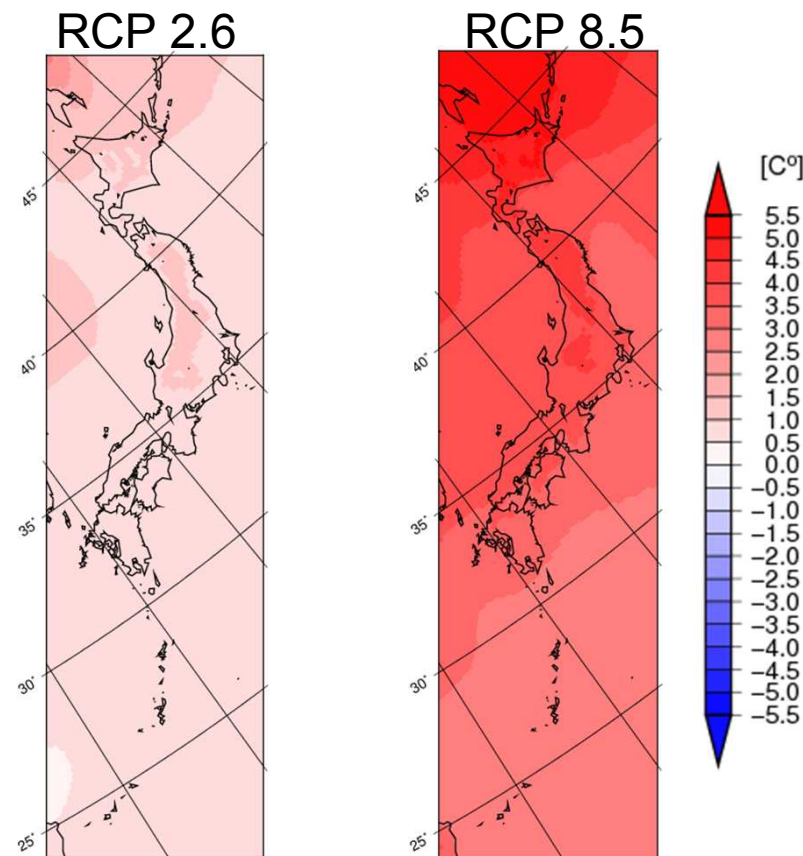
### 3. 整備された情報の特徴 将来気候の予測／気温(日最低気温の変化)

#### ●日最低気温の年平均値の変化の地域分布

- 日最低気温の年平均値は全国的に上昇し、上昇幅は年々変動幅より概ね大きい。特に北日本での温度上昇幅が大きく、沖縄・奄美は比較的小さい。
- 以下に、SST1,YSケースの計算結果を例示する。



棒グラフ : 現在気候との差(青:RCP2.6、赤:RCP8.5)  
 エラーバー : 年々変動の標準偏差  
 (棒グラフがないものは現在気候)



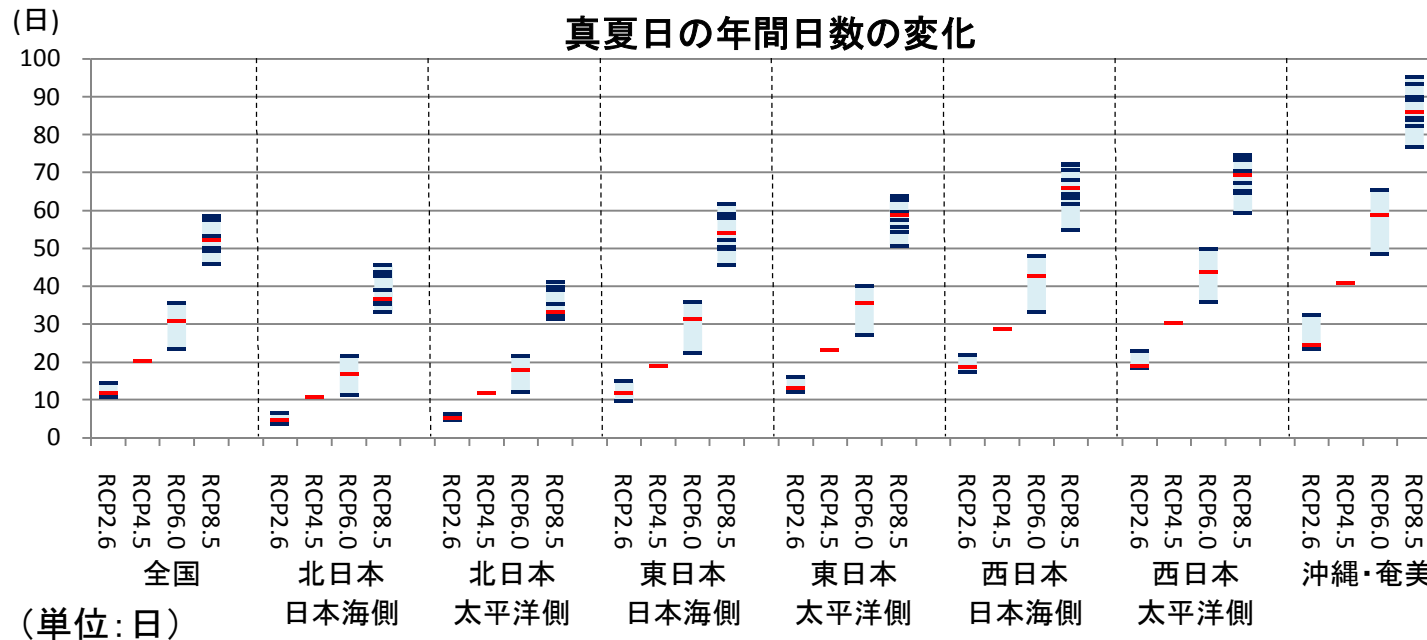
日最低気温の年平均値の変化の分布(SST1, YSケースの例示)

### 3. 整備された情報の特徴 将来気候の予測／気温(真夏日日数の変化)

#### ●真夏日(日最高気温30℃以上)の年間日数の変化

※バイアス補正(参考資料参照)後のデータを使用

- 真夏日の年間日数は将来の温室効果ガス安定化レベルが高くなるほど増加する。全国を見ると、RCP2.6で平均12.3日(10.8~14.3日)、RCP8.5で平均52.6日(45.8~58.4日)の増加が見られる。



<アンサンブルメンバー数>

- RCP2.6: 3ケース
- RCP4.5: 1ケース
- RCP6.0: 3ケース
- RCP8.5: 9ケース

グラフの青線及び赤線は各ケースにおける将来気候の予測(2080~2100年平均)と現在気候(1984~2004年平均)との差、赤線は各シナリオにおける中央値を示す。薄い青でケース間の幅を示す(各シナリオにおける不確実性を示すものではない)。

下表に、各シナリオにおける全ケースの平均値、括弧内に全ケースの下端と上端(年々変動等を含めた不確実性の幅ではない)を示す。また、参考として各地域の一都市における平年値(1981~2010年平均)を例示する。

|              | 全国               | 北日本<br>日本海側      | 北日本<br>太平洋側      | 東日本<br>日本海側      | 東日本<br>太平洋側      | 西日本<br>日本海側      | 西日本<br>太平洋側      | 沖縄・奄美            |
|--------------|------------------|------------------|------------------|------------------|------------------|------------------|------------------|------------------|
| RCP2.6       | 12.3 (10.8~14.3) | 4.9 (3.8~6.3)    | 5.3 (4.6~6.3)    | 12.0 (9.5~14.8)  | 13.6 (12.1~15.9) | 19.2 (17.2~21.8) | 20.2 (18.5~23.1) | 26.8 (23.5~32.4) |
| RCP4.5       | 20.4             | 10.6             | 11.8             | 18.9             | 23.2             | 28.6             | 30.3             | 40.7             |
| RCP6.0       | 29.9 (23.3~35.7) | 16.5 (11.0~21.6) | 17.1 (12.0~21.7) | 29.9 (22.4~35.9) | 34.2 (27.1~40.1) | 41.3 (33.3~48.1) | 43.1 (35.8~49.8) | 57.6 (48.6~65.4) |
| RCP8.5       | 52.6 (45.8~58.4) | 38.6 (33.1~45.6) | 35.1 (31.5~41.0) | 53.8 (45.5~61.6) | 58.4 (50.6~63.7) | 65.9 (54.9~72.1) | 68.6 (59.3~74.5) | 86.7 (76.6~95.0) |
| (参考都市例)      | -                | 札幌               | 釧路               | 新潟               | 東京               | 福岡               | 大阪               | 那覇               |
| 上記都市の<br>平年値 | -                | 8.0              | 0.1              | 33.5             | 48.5             | 57.1             | 73.2             | 96.0             |

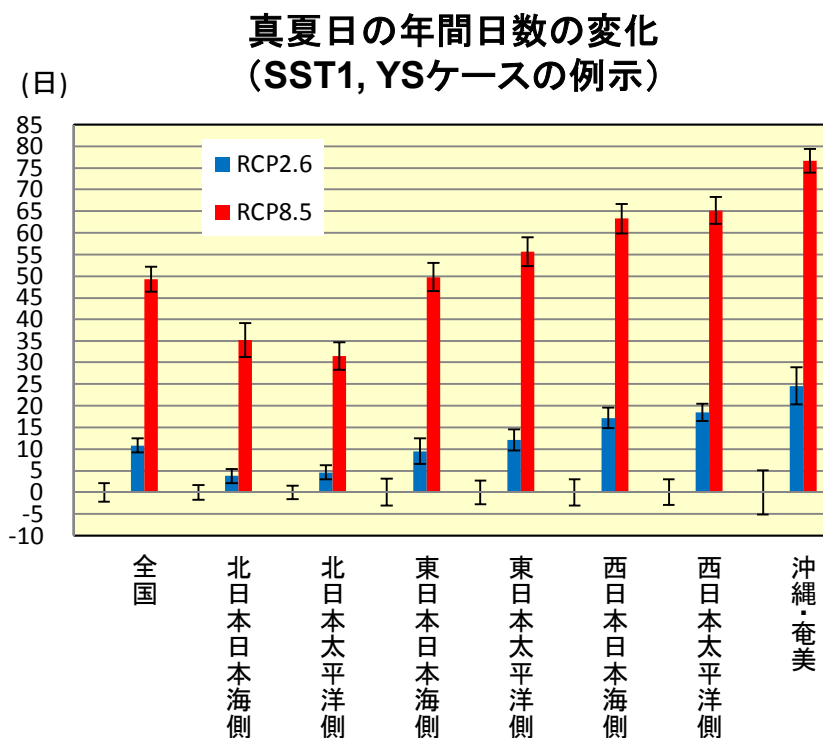
モデル計算結果の現在気候をベースにした変化量の地域平均と、一地点の観測値である平年値とは、単純に比較できるものではない。また、都市例は代表的な都市をあげているが、地域の気候の代表値ではない。(現在気候の再現計算結果による全国平均値は約23日)

### 3. 整備された情報の特徴 将来気候の予測／気温(真夏日日数の変化)

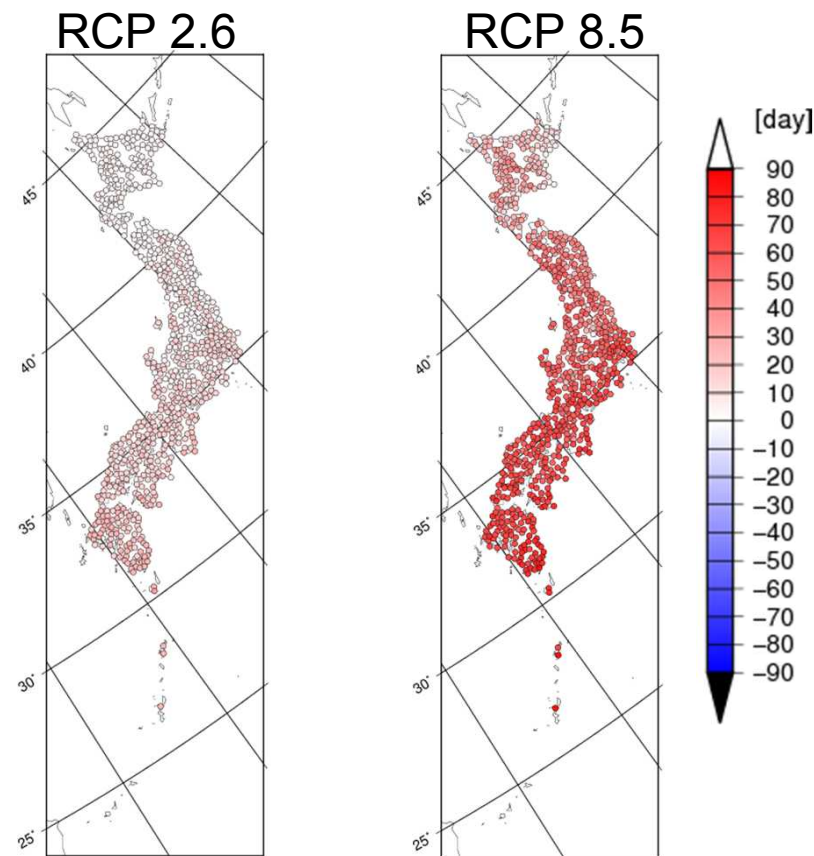
#### ●真夏日の年間日数の地域分布

※バイアス補正(参考資料参照)後のデータを使用

- 真夏日の年間日数は全国的に増加し、増加幅は年々変動幅より概ね大きい。特に西日本及び沖縄・奄美での増加幅が大きい。
- 以下に、SST1,YSケースの計算結果を例示する。



棒グラフ : 現在気候との差(青:RCP2.6、赤:RCP8.5)  
 エラーバー : 年々変動の標準偏差  
 (棒グラフがないもの: 現在気候)



真夏日の年間日数の変化の分布(SST1, YSケースの例示)

### 3. 整備された情報の特徴 将来気候の予測／気温(真夏日日数の変化)

#### ●真夏日の季節別日数の変化(東日本太平洋側)

※バイアス補正(参考資料参照)後のデータを使用

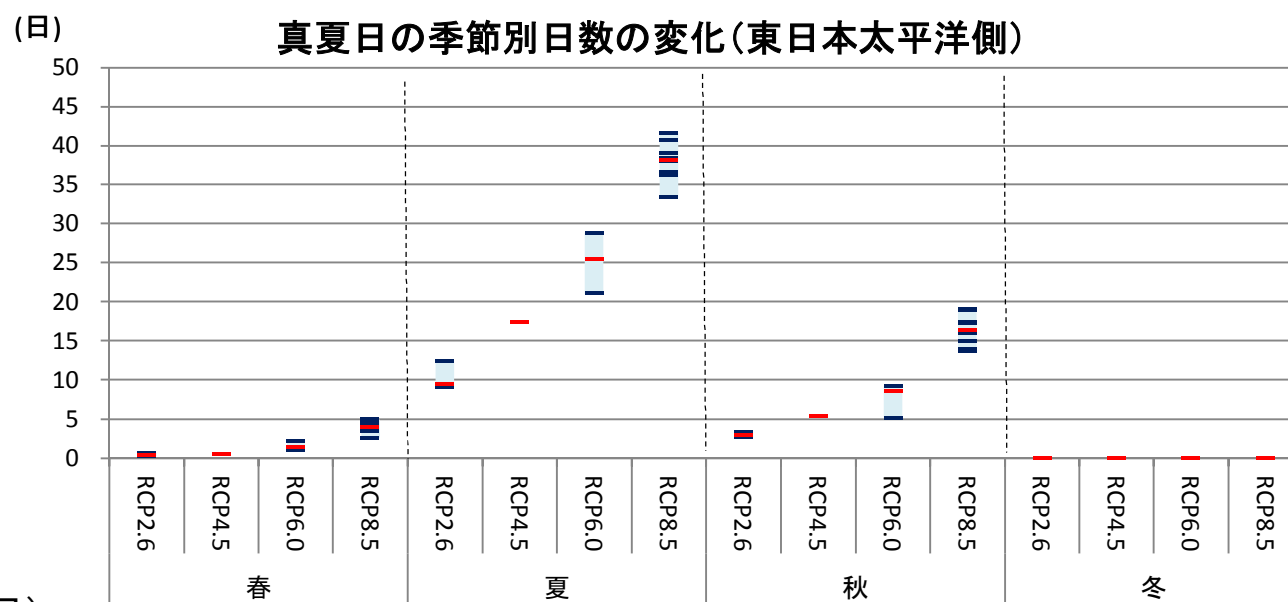
- 東京を含む東日本太平洋側で季節別日数の変化をみると、夏に大きく増加することが分かる。

<アンサンブルメンバ数>

- RCP2.6: 3ケース
- RCP4.5: 1ケース
- RCP6.0: 3ケース
- RCP8.5: 9ケース

グラフの青線及び赤線は各ケースにおける将来気候の予測(2080~2100年平均)と現在気候(1984~2004年平均)との差、赤線は各シナリオにおける中央値を示す。薄い青でケース間の幅を示す(各シナリオにおける不確実性を示すものではない)。

下表に、各シナリオにおける全ケースの平均値、括弧内に全ケースの下端と上端(年々変動等を含めた不確実性の幅ではない)を示す。また、参考として各地域の一都市における平年値(1981~2010年平均)を例示する。



(単位:日)

|                  | 春(3~5月)       | 夏(6~8月)          | 秋(9~11月)         | 冬(12~2月)      |
|------------------|---------------|------------------|------------------|---------------|
| RCP2.6           | 0.4 (0.2~0.6) | 10.3 (9.1~12.4)  | 3.0 (2.7~3.2)    | 0.0 (0.0~0.0) |
| RCP4.5           | 0.5           | 17.3             | 5.4              | 0.0           |
| RCP6.0           | 1.5 (1.0~2.1) | 25.1 (21.0~28.8) | 7.6 (5.1~9.2)    | 0.0 (0.0~0.0) |
| RCP8.5           | 4.0 (2.6~5.0) | 38.0 (33.4~41.6) | 16.4 (13.6~19.1) | 0.0 (0.0~0.0) |
| 東京(参考都市)<br>の平年値 | 0.3           | 40.4             | 7.8              | 0.0           |

モデル計算結果の現在気候をベースにした変化量の地域平均と、一地点の観測値である平年値とは、単純に比較できるものではない。また、都市例は代表的な都市をあげているが、地域の気候の代表値ではない。

### 3. 整備された情報の特徴 将来気候の予測／気温(真夏日日数の変化)

#### ●真夏日の季節別日数の変化(沖縄・奄美)

※バイアス補正(参考資料参照)後のデータを使用

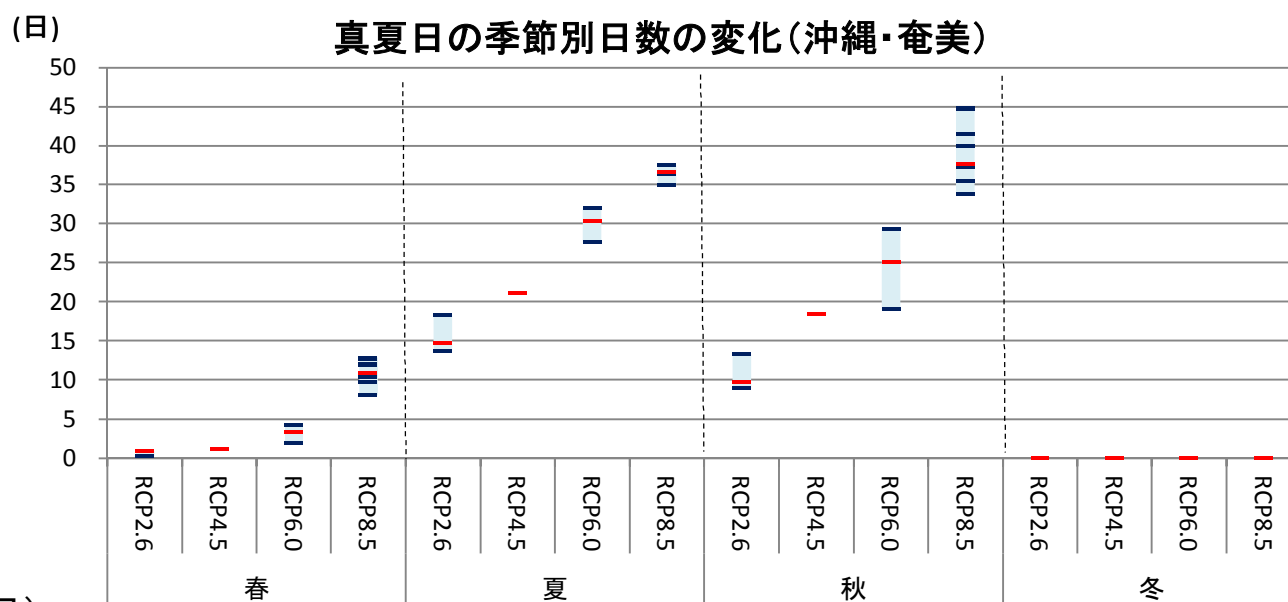
- 変化量の大きい沖縄・奄美で季節別日数の変化をみると、夏と秋に大きく増加することが分かる。

<アンサンブルメンバ数>

- RCP2.6: 3ケース
- RCP4.5: 1ケース
- RCP6.0: 3ケース
- RCP8.5: 9ケース

グラフの青線及び赤線は各ケースにおける将来気候の予測(2080~2100年平均)と現在気候(1984~2004年平均)との差、赤線は各シナリオにおける中央値を示す。薄い青でケース間の幅を示す(各シナリオにおける不確実性を示すものではない)。

下表に、各シナリオにおける全ケースの平均値、括弧内に全ケースの下端と上端(年々変動等を含めた不確実性の幅ではない)を示す。また、参考として各地域の一都市における平年値(1981~2010年平均)を例示する。



(単位:日)

|              | 春(3~5月)         | 夏(6~8月)          | 秋(9~11月)         | 冬(12~2月)      |
|--------------|-----------------|------------------|------------------|---------------|
| RCP2.6       | 0.7 (0.3~0.9)   | 15.5 (13.7~18.3) | 10.6 (9.0~13.3)  | 0.0 (0.0~0.0) |
| RCP4.5       | 1.1             | 21.2             | 18.4             | 0.0           |
| RCP6.0       | 3.1 (1.9~4.2)   | 30.0 (27.6~32.0) | 24.4 (19.0~29.2) | 0.0 (0.0~0.0) |
| RCP8.5       | 11.0 (8.0~12.9) | 36.5 (34.9~37.5) | 39.2 (33.7~44.7) | 0.0 (0.0~0.0) |
| 那覇(参考都市)の平年値 | 1.6             | 70.3             | 24.0             | 0.0           |

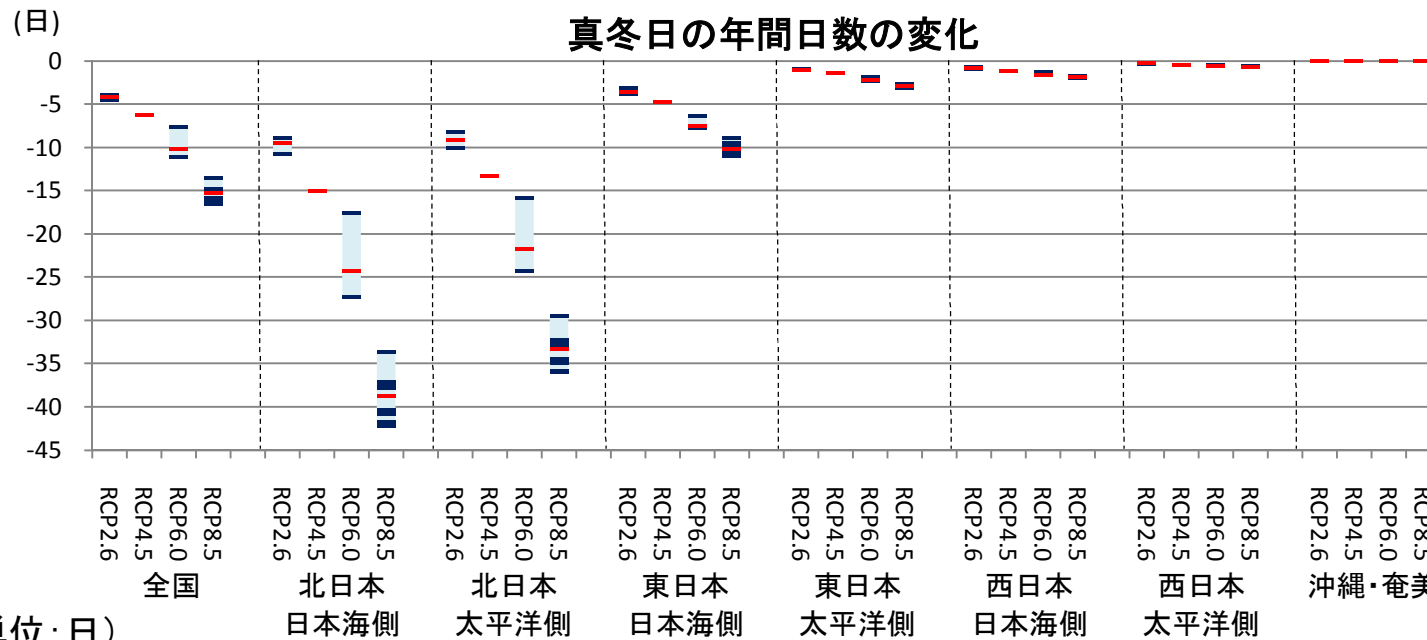
モデル計算結果の現在気候をベースにした変化量の地域平均と、一地点の観測値である平年値とは、単純に比較できるものではない。また、都市例は代表的な都市をあげているが、地域の気候の代表値ではない。

### 3. 整備された情報の特徴 将来気候の予測／気温(真冬日日数の変化)

#### ●真冬日(日最高気温0°C未満)の年間日数の変化

※バイアス補正(参考資料参照)後のデータを使用

- 真冬日の年間日数は将来の温室効果ガス安定化レベルが高くなるほど減少する。全国では、RCP2.6で平均4.3日(4.0~4.6日)、RCP8.5で平均15.4日(13.5~16.6日)の減少が見られる。



<アンサンブルメンバ数>

- RCP2.6: 3ケース
- RCP4.5: 1ケース
- RCP6.0: 3ケース
- RCP8.5: 9ケース

グラフの青線及び赤線は各ケースにおける将来気候の予測(2080~2100年平均)と現在気候(1984~2004年平均)との差、赤線は各シナリオにおける中央値を示す。薄い青でケース間の幅を示す(各シナリオにおける不確実性を示すものではない)。

下表に、各シナリオにおける全ケースの平均値、括弧内に全ケースの下端と上端(年々変動等を含めた不確実性の幅ではない)を示す。また、参考として各地域の一都市における平年値(1981~2010年平均)を例示する。

|              | 全国                  | 北日本<br>日本海側         | 北日本<br>太平洋側         | 東日本<br>日本海側        | 東日本<br>太平洋側      | 西日本<br>日本海側      | 西日本<br>太平洋側      | 沖縄・奄美         |
|--------------|---------------------|---------------------|---------------------|--------------------|------------------|------------------|------------------|---------------|
| RCP2.6       | -4.3 (-4.6~-4.0)    | -9.7 (-10.7~-8.9)   | -9.1 (-10.0~-8.2)   | -3.5 (-3.8~-3.1)   | -1.0 (-1.1~-0.9) | -0.9 (-0.9~-0.8) | -0.3 (-0.3~-0.3) | 0.0 (0.0~0.0) |
| RCP4.5       | -6.3                | -15.1               | -13.3               | -4.8               | -1.4             | -1.2             | -0.5             | 0.0           |
| RCP6.0       | -9.7 (-11.2~-7.6)   | -23.1 (-27.4~-17.6) | -20.7 (-24.3~-15.9) | -7.3 (-7.8~-6.5)   | -2.1 (-2.3~-1.9) | -1.5 (-1.6~-1.4) | -0.6 (-0.6~-0.5) | 0.0 (0.0~0.0) |
| RCP8.5       | -15.4 (-16.6~-13.5) | -38.9 (-42.3~-33.7) | -33.5 (-36.0~-29.5) | -10.1 (-11.0~-9.0) | -2.9 (-3.1~-2.6) | -1.8 (-2.0~-1.7) | -0.6 (-0.7~-0.6) | 0.0 (0.0~0.0) |
| (参考都市例)      | -                   | 札幌                  | 釧路                  | 新潟                 | 東京               | 福岡               | 大阪               | 那覇            |
| 上記都市の<br>平年値 | -                   | 45.0                | 44.7                | 1.1                | 0.0              | 0.0              | 0.0              | 0.0           |

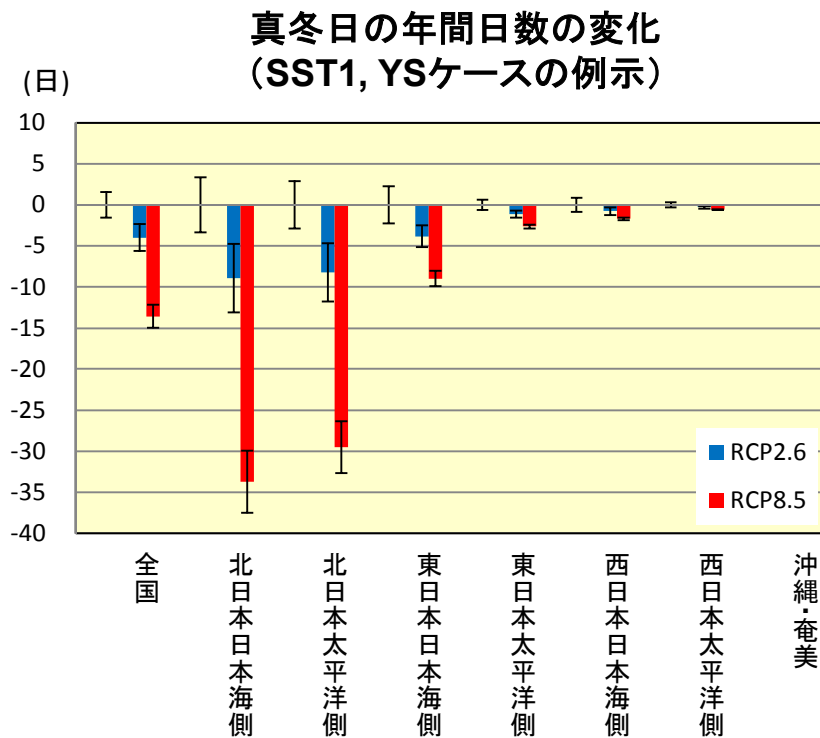
モデル計算結果の現在気候をベースにした変化量の地域平均と、一地点の観測値である平年値とは、単純に比較できるものではない。また、都市例は代表的な都市をあげているが、地域の気候の代表値ではない。

### 3. 整備された情報の特徴 将来気候の予測／気温(真冬日日数の変化)

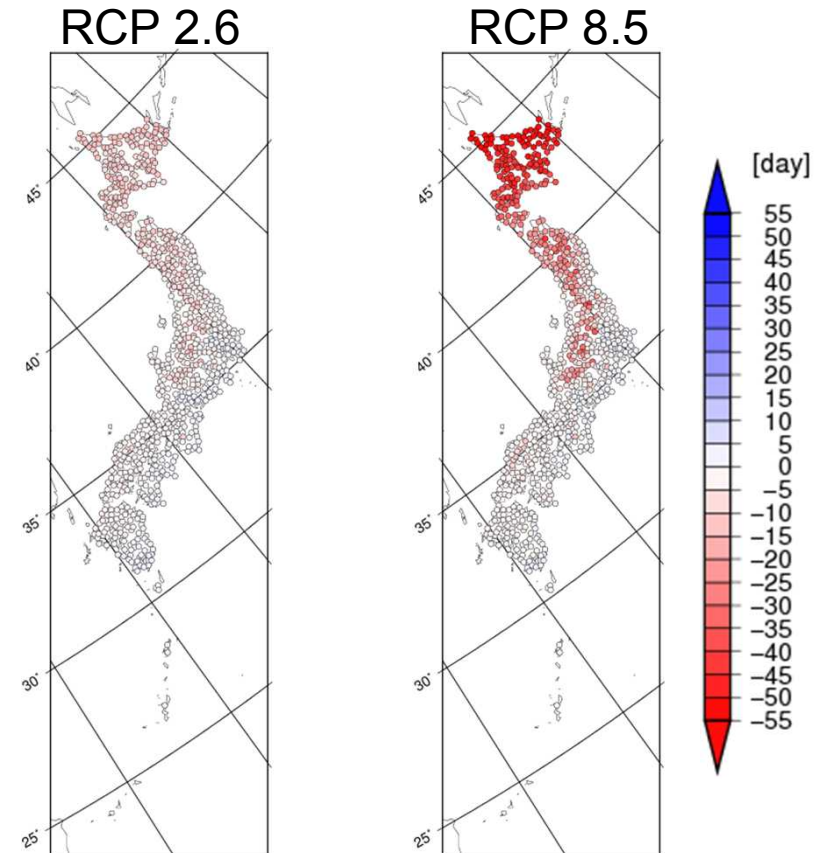
#### ●真冬日の年間日数の変化の地域分布

※バイアス補正(参考資料参照)後のデータを使用

- 真冬日の年間日数は全国的に減少し、減少幅は年々変動幅より概ね大きい。特に北日本での減少幅が大きい。
- 以下に、SST1,YSケースの計算結果を例示する。



棒グラフ : 現在気候との差(青:RCP2.6、赤:RCP8.5)  
 エラーバー : 年々変動の標準偏差  
 (棒グラフがないもの: 現在気候)

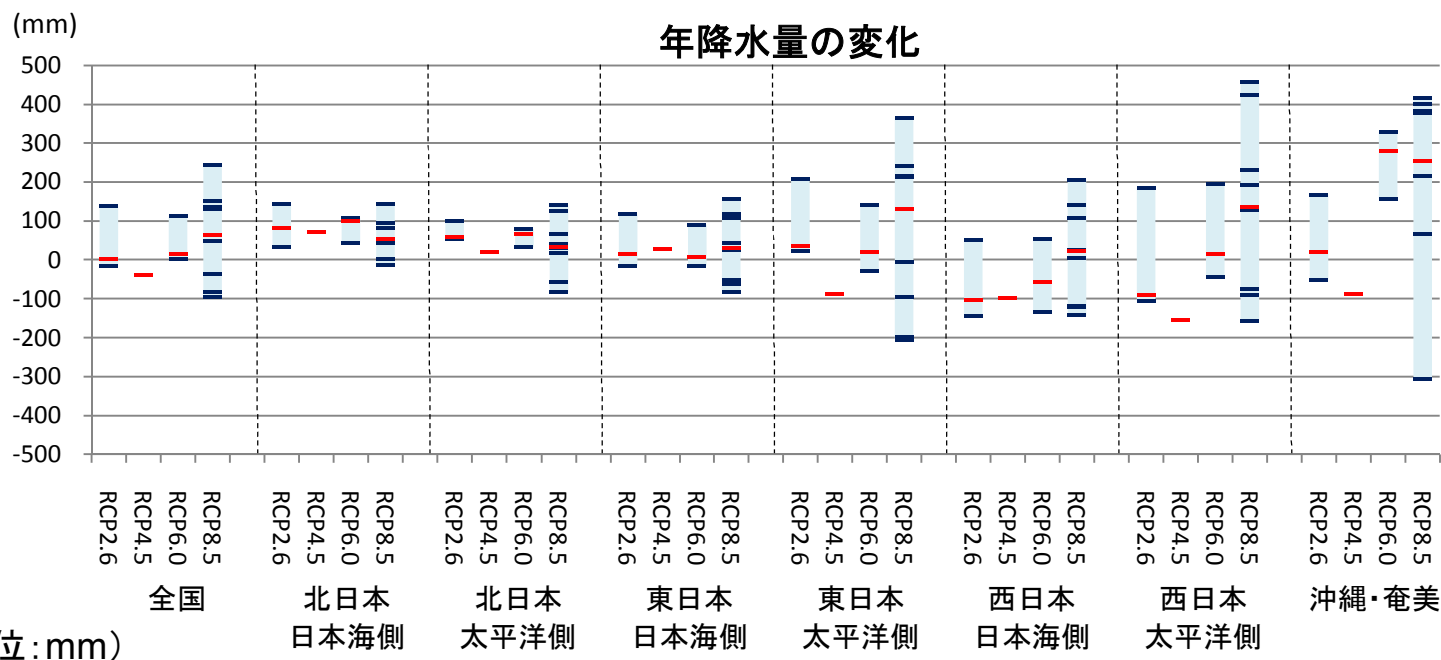


真冬日の年間日数の変化の分布(SST1, YSケースの例示)

### 3. 整備された情報の特徴 将来気候の予測／降水(年降水量の変化)

#### ●年降水量の変化

- 年降水量は、ケースによって増加する場合も減少する場合もある。



<アンサンブルメンバ数>

- RCP2.6: 3ケース
- RCP4.5: 1ケース
- RCP6.0: 3ケース
- RCP8.5: 9ケース

グラフの青線及び赤線は各ケースにおける将来気候の予測(2080~2100年平均)と現在気候(1984~2004年平均)との差、赤線は各シナリオにおける中央値を示す。薄い青でケース間の幅を示す(各シナリオにおける不確実性を示すものではない)。

下表に、各シナリオにおける全ケースの平均値、括弧内に全ケースの下端と上端(年々変動等を含めた不確実性の幅ではない)を示す。また、参考として各地域の一都市における平年値(1981~2010年平均)を例示する。

(単位: mm)

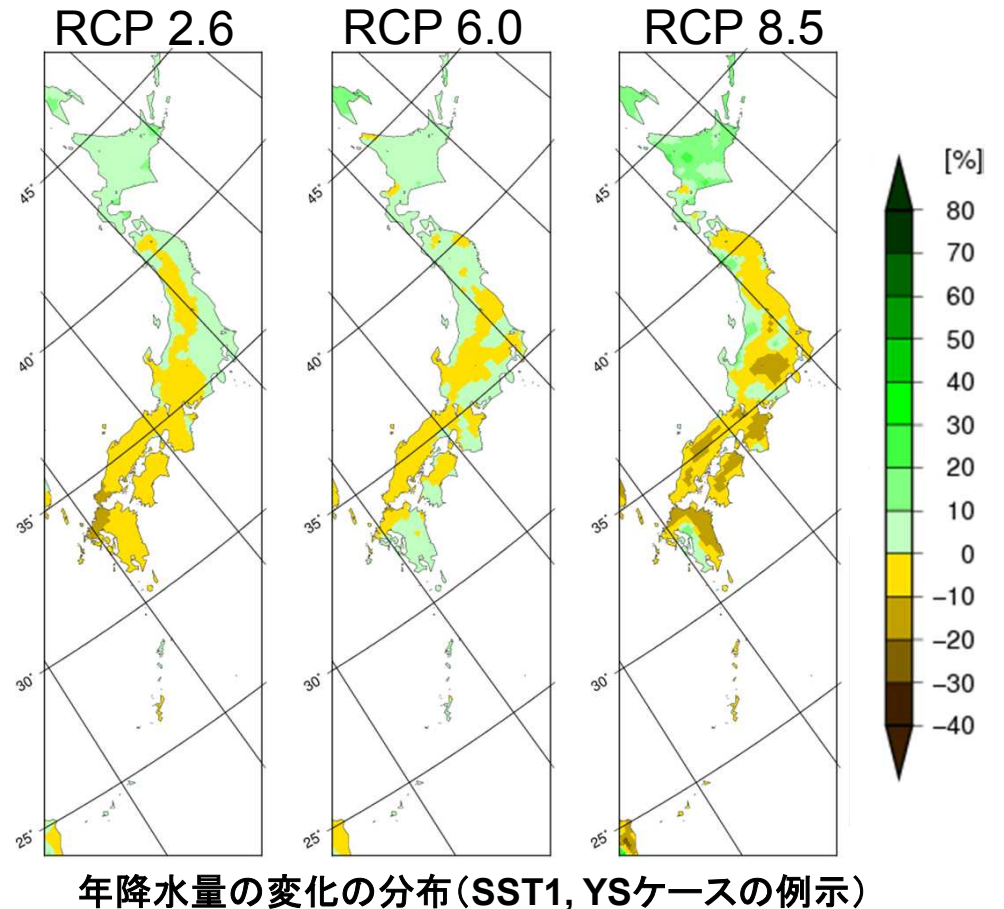
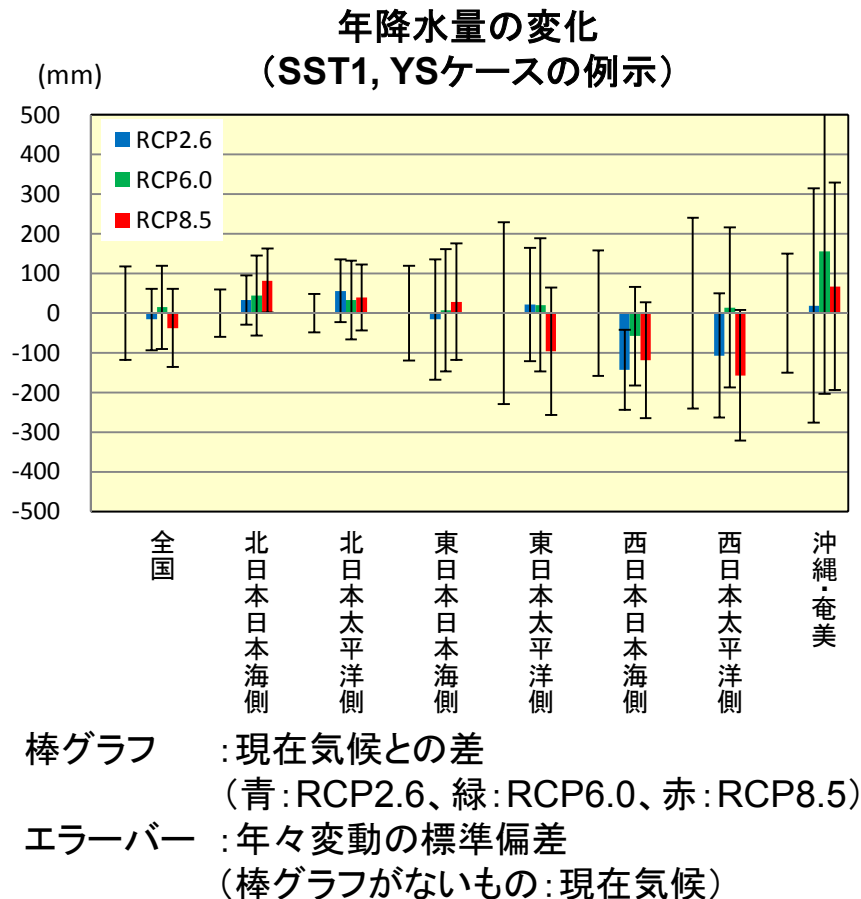
|              | 全国                 | 北日本<br>日本海側        | 北日本<br>太平洋側        | 東日本<br>日本海側        | 東日本<br>太平洋側         | 西日本<br>日本海側         | 西日本<br>太平洋側          | 沖縄・奄美                |
|--------------|--------------------|--------------------|--------------------|--------------------|---------------------|---------------------|----------------------|----------------------|
| RCP2.6       | 41.3 (-16.1~137.1) | 85.4 (33.0~141.9)  | 69.1 (53.7~97.3)   | 38.1 (-15.4~115.9) | 88.3 (22.2~208.8)   | -65.2 (-142.9~50.7) | -4.8 (-106.9~183.3)  | 44.8 (-52.0~167.7)   |
| RCP4.5       | -39.8              | 69.8               | 20.7               | 27.6               | -88.0               | -97.5               | -155.0               | -88.8                |
| RCP6.0       | 42.7 (2.5~110.7)   | 83.5 (44.2~106.6)  | 59.3 (32.9~78.8)   | 27.4 (-14.9~89.9)  | 43.9 (-29.3~140.7)  | -46.8 (-134.0~51.5) | 54.2 (-44.5~193.0)   | 254.3 (155.4~328.8)  |
| RCP8.5       | 61.3 (-95.6~243.1) | 55.9 (-13.1~143.2) | 34.0 (-83.5~140.0) | 30.9 (-82.6~156.4) | 73.3 (-206.3~365.0) | 13.3 (-142.4~204.8) | 138.2 (-157.0~457.4) | 228.8 (-307.0~415.8) |
| (参考都市例)      | -                  | 札幌                 | 釧路                 | 新潟                 | 東京                  | 福岡                  | 大阪                   | 那覇                   |
| 上記都市の<br>平年値 | -                  | 1106.5             | 1042.9             | 1821.0             | 1528.8              | 1612.3              | 1279.0               | 2040.8               |

モデル計算結果の現在気候をベースにした変化量の地域平均と、一地点の観測値である平年値とは、単純に比較できるものではない。また、都市例は代表的な都市をあげているが、地域の気候の代表値ではない。

### 3. 整備された情報の特徴 将来気候の予測／降水(年降水量の変化)

#### ●年降水量の変化の地域分布

- 年降水量の将来における増減幅は年々変動幅より概ね小さく、統計的に有意な変化はほとんど見られない。
- 以下に、SST1,YSケースの計算結果を例示する。

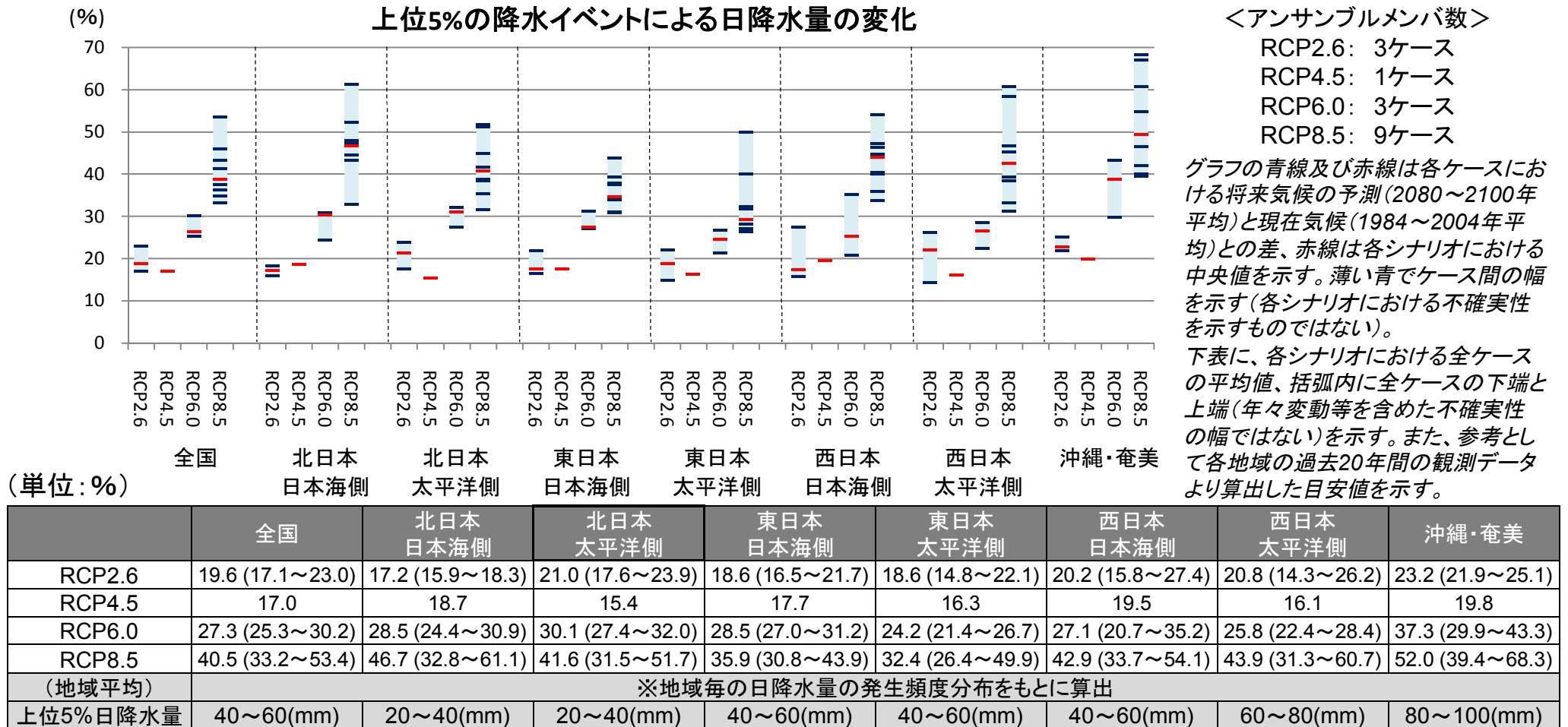


### 3. 整備された情報の特徴 将来気候の予測／降水(大雨による降水量の変化)

#### ●大雨による降水量(上位5%の降水イベントによる日降水量)の変化

- 大雨による降水量は、すべてのシナリオ・ケースにおいて増加する。

※バイアス補正(参考資料参照)後のデータを使用

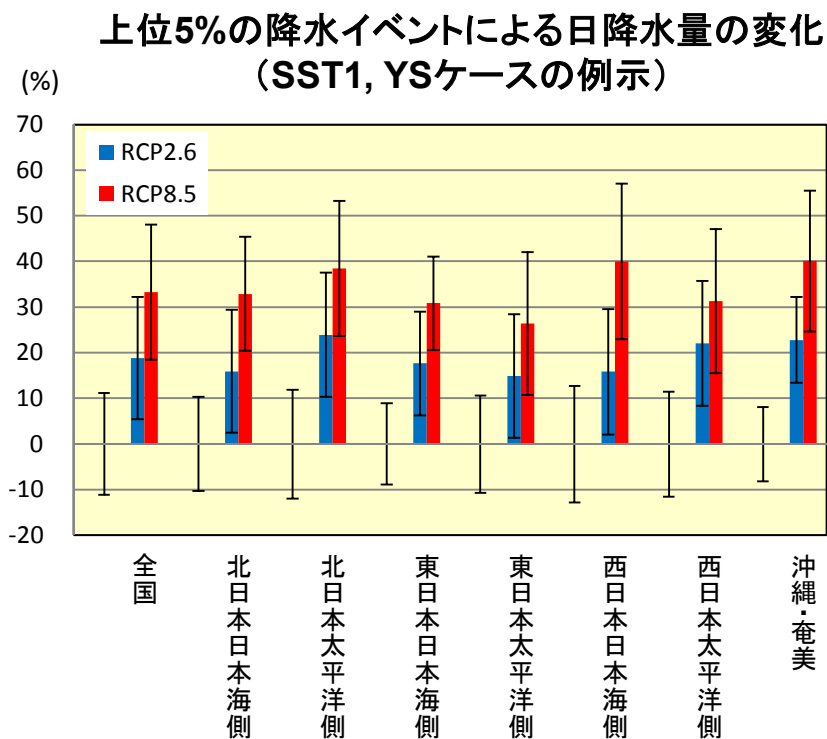


### 3. 整備された情報の特徴 将来気候の予測／降水(大雨による降水量の変化)

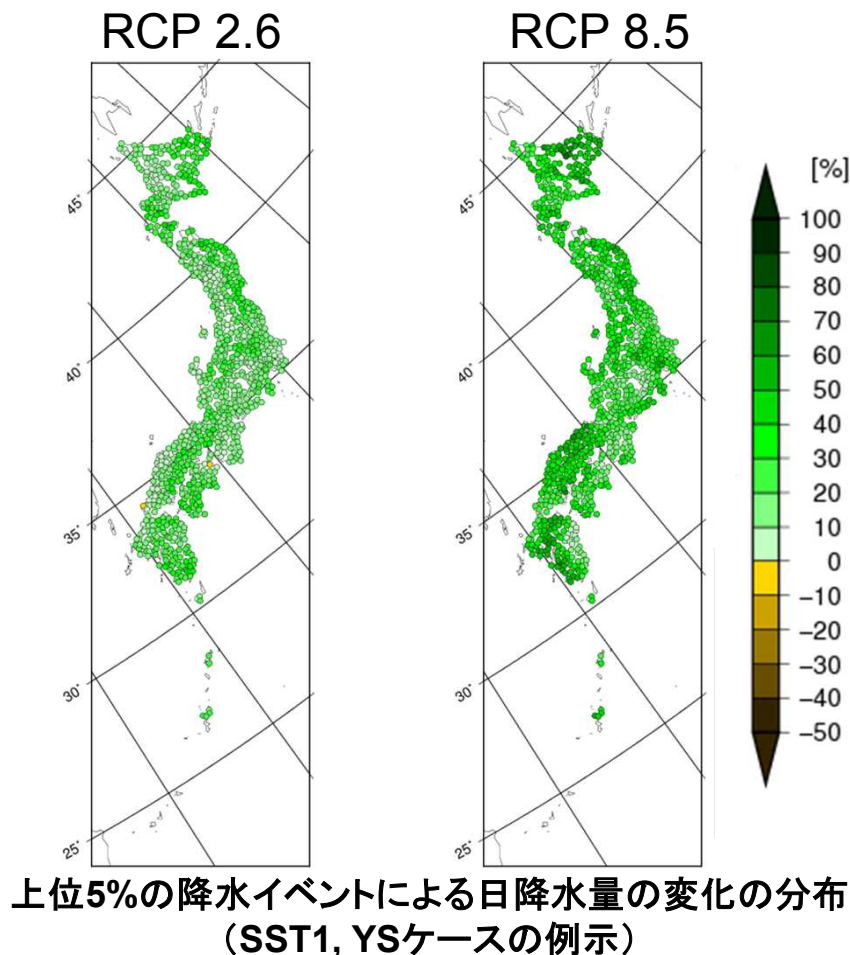
#### ●大雨による降水量の変化の地域分布

※バイアス補正(参考資料参照)後のデータを使用

- 大雨による降水量は全国的に増加し、増加幅は年々変動幅より概ね大きい。
- 以下に、SST1,YSケースの計算結果を例示する。



棒グラフ : 現在気候からの変化率(青:RCP2.6、赤:RCP8.5)  
 エラーバー : 年々変動の標準偏差(現在気候計算結果との比)  
 (棒グラフがないもの:現在気候)

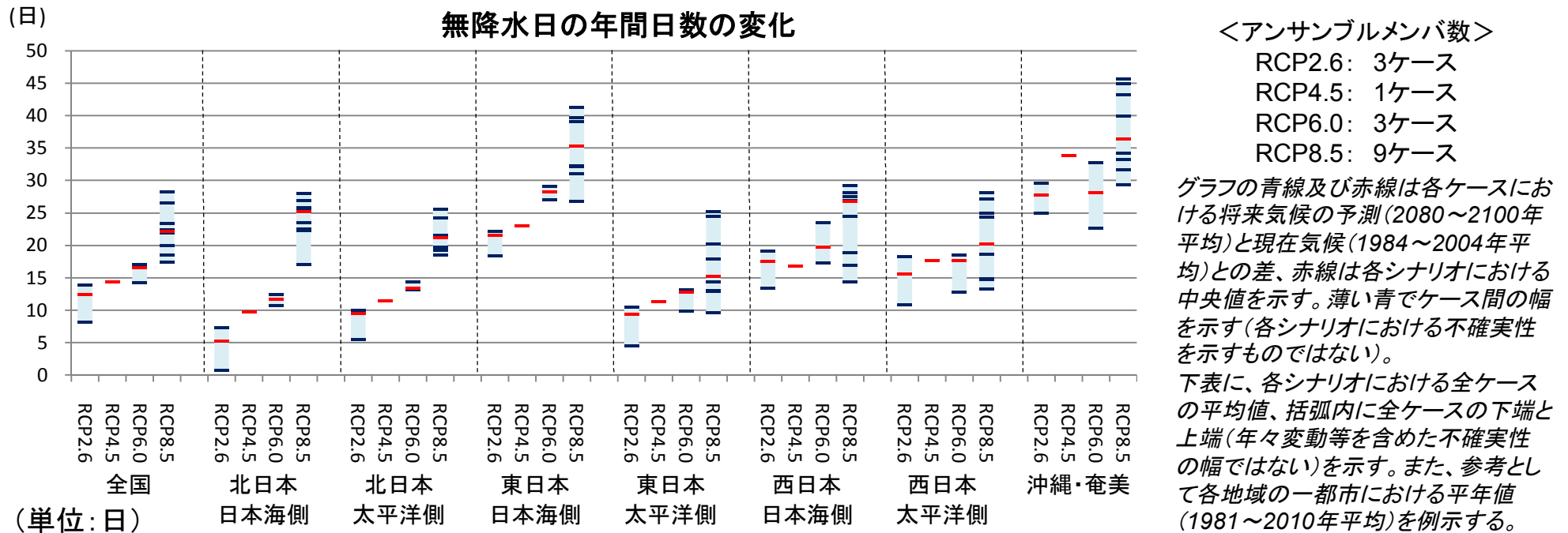


### 3. 整備された情報の特徴 将来気候の予測／降水(無降水日日数の変化)

#### ●無降水日(日降水量1ミリ未満)の年間日数の変化

※バイアス補正(参考資料参照)後のデータを使用

- 無降水日の年間日数は、すべてのシナリオ・ケースにおいて増加する。



|              | 全国               | 北日本<br>日本海側      | 北日本<br>太平洋側      | 東日本<br>日本海側      | 東日本<br>太平洋側     | 西日本<br>日本海側      | 西日本<br>太平洋側      | 沖縄・奄美            |
|--------------|------------------|------------------|------------------|------------------|-----------------|------------------|------------------|------------------|
| RCP2.6       | 11.5 (8.1～13.9)  | 4.4 (0.6～7.3)    | 8.3 (5.5～10.0)   | 20.7 (18.3～22.2) | 8.0 (4.5～10.4)  | 16.7 (13.3～19.1) | 14.9 (10.8～18.3) | 27.4 (25.0～29.6) |
| RCP4.5       | 14.4             | 9.7              | 11.4             | 23.0             | 11.3            | 16.7             | 17.5             | 33.9             |
| RCP6.0       | 15.9 (14.2～17.0) | 11.6 (10.6～12.4) | 13.6 (13.1～14.4) | 28.1 (27.0～29.1) | 11.9 (9.9～13.1) | 20.2 (17.2～23.5) | 16.3 (12.7～18.5) | 27.8 (22.7～32.7) |
| RCP8.5       | 22.3 (17.4～28.2) | 24.1 (17.0～28.0) | 21.2 (18.4～25.6) | 34.7 (26.8～41.2) | 17.0 (9.6～25.2) | 23.7 (14.4～29.2) | 20.7 (13.2～28.1) | 37.6 (29.3～45.7) |
| (参考都市例)      | -                | 札幌               | 釧路               | 新潟               | 東京              | 福岡               | 大阪               | 那覇               |
| 上記都市の<br>平年値 | -                | 225.5            | 276.7            | 192.8            | 263.6           | 253.7            | 266.8            | 243.1            |

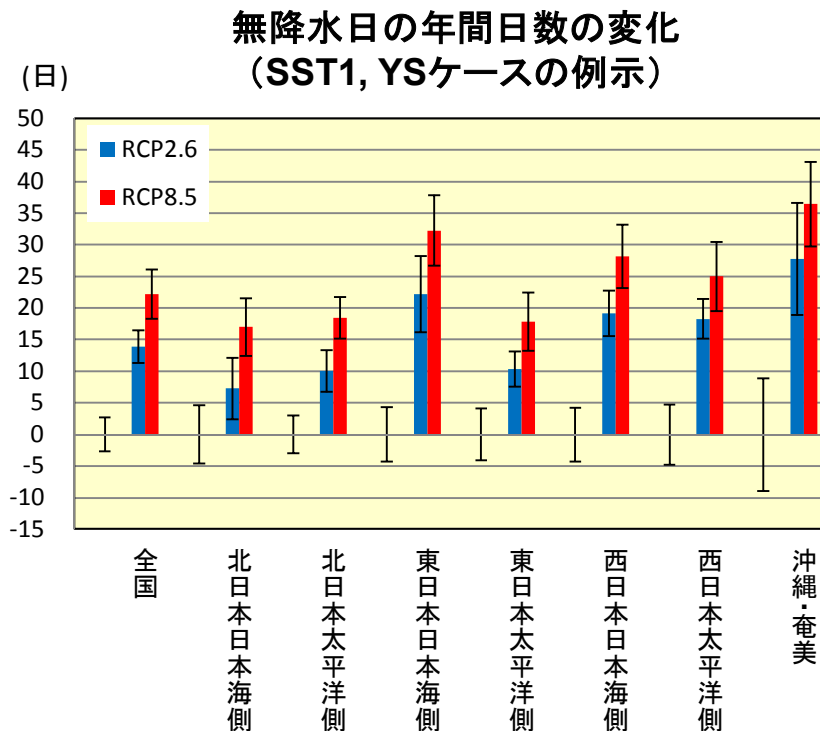
モデル計算結果の現在気候をベースにした変化量の地域平均と、一地点の観測値である平年値とは、単純に比較できるものではない。また、都市例は代表的な都市をあげているが、地域の気候の代表値ではない。(現在気候の再現計算結果による全国平均値は約250日)

### 3. 整備された情報の特徴 将来気候の予測／降水(無降水日日数の変化)

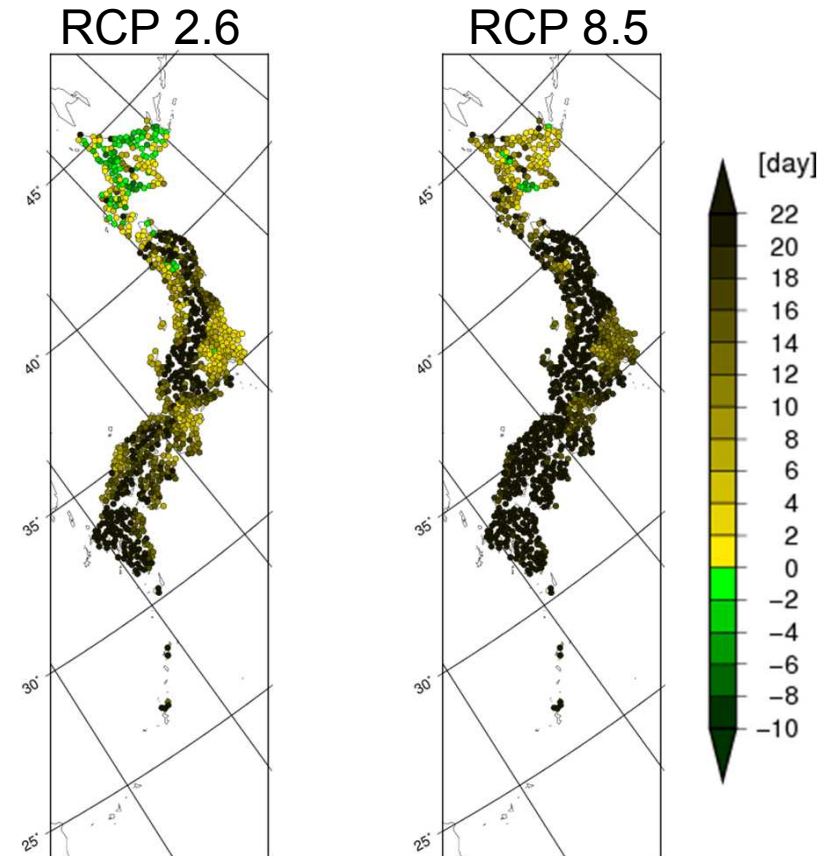
#### ●無降水日の年間日数の変化の地域分布

※バイアス補正(参考資料参照)後のデータを使用

- 無降水日の年間日数は全国的に増加し、増加幅は年々変動幅より概ね大きい。
- 以下に、SST1,YSケースの計算結果を例示する。



棒グラフ : 現在気候との差(青:RCP2.6、赤:RCP8.5)  
 エラーバー : 年々変動の標準偏差  
 (棒グラフがないもの: 現在気候)



無降水日の年間日数の変化の分布(SST1, YSケースの例示)

### 3. 整備された情報の特徴 将来気候の予測／降水(無降水日日数の変化)

#### ●無降水日(日降水量1ミリ未満)の季節別日数の変化(東日本日本海側)

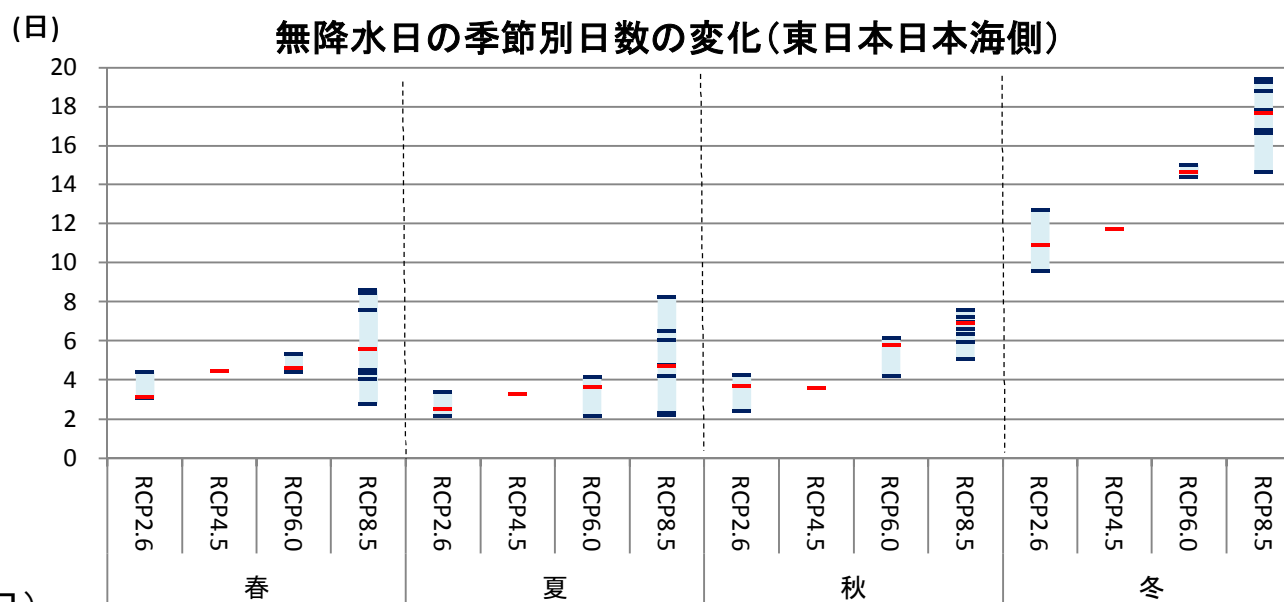
- 変化量の大きい東日本日本海側で季節別日数の変化をみると、冬に大きく増加することが分かる。

<アンサンブルメンバ数>

- RCP2.6: 3ケース
- RCP4.5: 1ケース
- RCP6.0: 3ケース
- RCP8.5: 9ケース

グラフの青線及び赤線は各ケースにおける将来気候の予測(2080~2100年平均)と現在気候(1984~2004年平均)との差、赤線は各シナリオにおける中央値を示す。薄い青でケース間の幅を示す(各シナリオにおける不確実性を示すものではない)。

下表に、各シナリオにおける全ケースの平均値、括弧内に全ケースの下端と上端(年々変動等を含めた不確実性の幅ではない)を示す。また、参考として各地域の一都市における平年値(1981~2010年平均)を例示する。



(単位: 日)

|                  | 春(3~5月)       | 夏(6~8月)       | 秋(9~11月)      | 冬(12~2月)         |
|------------------|---------------|---------------|---------------|------------------|
| RCP2.6           | 3.5 (3.1~4.4) | 2.7 (2.1~3.4) | 3.4 (2.4~4.3) | 11.0 (9.5~12.7)  |
| RCP4.5           | 4.5           | 3.3           | 3.6           | 11.7             |
| RCP6.0           | 4.8 (4.4~5.3) | 3.3 (2.1~4.1) | 5.4 (4.2~6.1) | 14.7 (14.4~15.0) |
| RCP8.5           | 6.0 (2.8~8.6) | 4.8 (2.2~8.2) | 6.6 (5.1~7.6) | 17.3 (14.6~19.4) |
| 新潟(参考都市)の<br>平年値 | 54.8          | 61.3          | 47.1          | 29.5             |

モデル計算結果の現在気候をベースにした変化量の地域平均と、一地点の観測値である平年値とは、単純に比較できるものではない。また、都市例は代表的な都市をあげているが、地域の気候の代表値ではない。

### 3. 整備された情報の特徴 将来気候の予測／降水(無降水日日数の変化)

#### ●無降水日(日降水量1ミリ未満)の季節別日数の変化(東日本太平洋側)

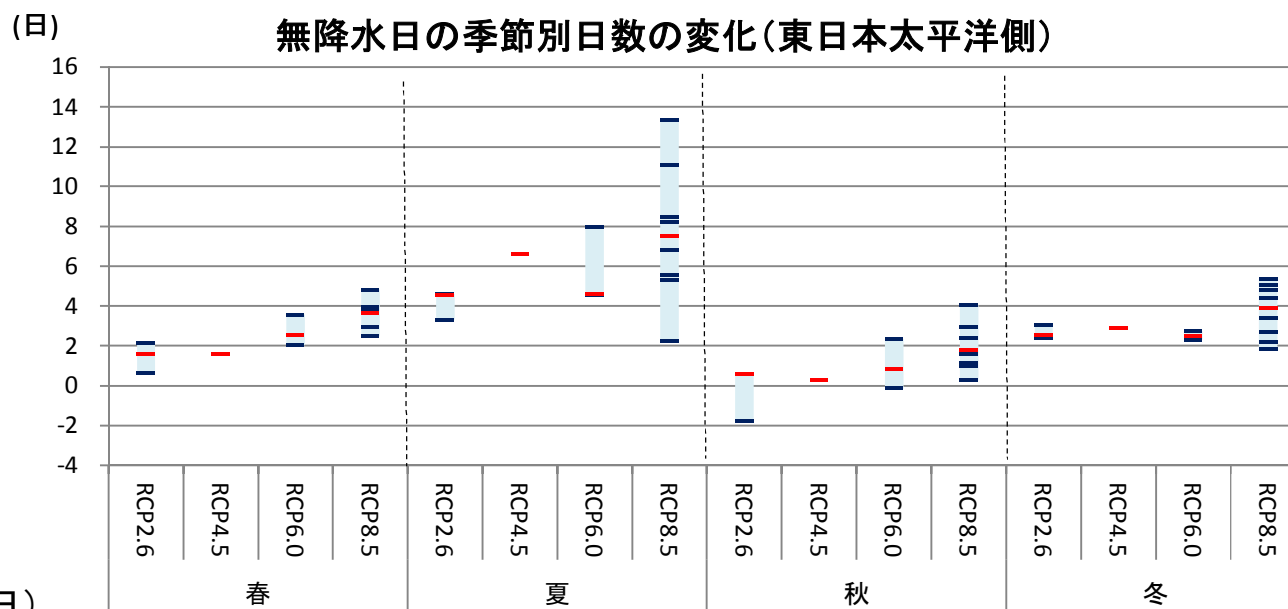
- 東京を含む東日本太平洋側で季節別日数の変化をみると、夏に大きく増加することが分かる。

<アンサンブルメンバ数>

- RCP2.6: 3ケース
- RCP4.5: 1ケース
- RCP6.0: 3ケース
- RCP8.5: 9ケース

グラフの青線及び赤線は各ケースにおける将来気候の予測(2080~2100年平均)と現在気候(1984~2004年平均)との差、赤線は各シナリオにおける中央値を示す。薄い青でケース間の幅を示す(各シナリオにおける不確実性を示すものではない)。

下表に、各シナリオにおける全ケースの平均値、括弧内に全ケースの下端と上端(年々変動等を含めた不確実性の幅ではない)を示す。また、参考として各地域の一都市における平年値(1981~2010年平均)を例示する。



|              | 春(3~5月)       | 夏(6~8月)        | 秋(9~11月)        | 冬(12~2月)      |
|--------------|---------------|----------------|-----------------|---------------|
| RCP2.6       | 1.5 (0.6~2.1) | 4.2 (3.3~4.6)  | -0.2 (-1.8~0.6) | 2.7 (2.4~3.1) |
| RCP4.5       | 1.6           | 6.6            | 0.3             | 2.9           |
| RCP6.0       | 2.7 (2.0~3.6) | 5.7 (4.6~8.0)  | 1.0 (-0.1~2.3)  | 2.5 (2.3~2.7) |
| RCP8.5       | 3.5 (2.5~4.8) | 7.6 (2.2~13.3) | 2.1 (0.2~4.1)   | 3.7 (1.8~5.4) |
| 東京(参考都市)の平年値 | 61.9          | 62.6           | 63.4            | 75.8          |

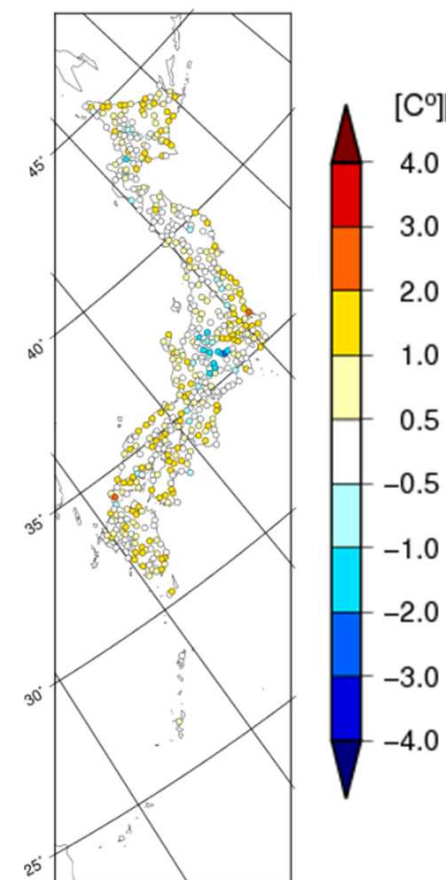
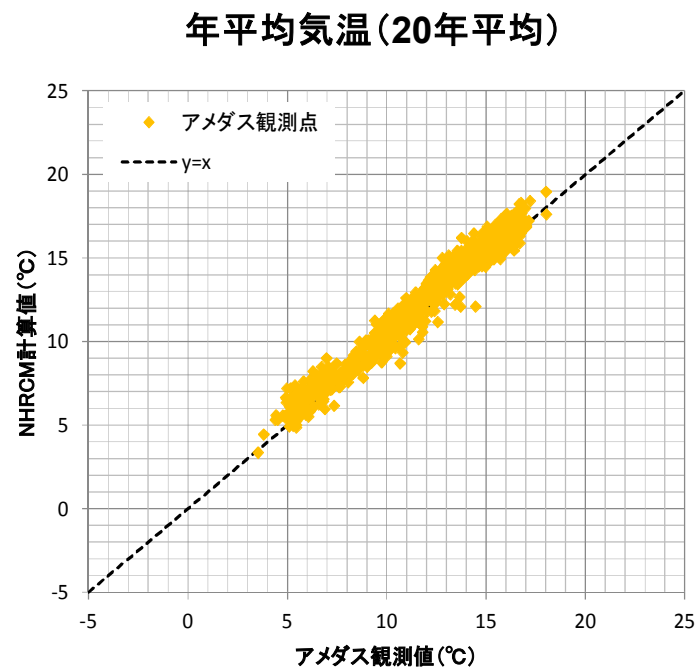
モデル計算結果の現在気候をベースにした変化量の地域平均と、一地点の観測値である平年値とは、単純に比較できるものではない。また、都市例は代表的な都市をあげているが、地域の気候の代表値ではない。

## 【参考資料 I】現在気候の再現性／気温

### ●年平均気温の再現性

- 概ね観測結果を再現できている。
- 気象庁 地球温暖化予測情報第8巻で用いられたモデルと同様の傾向を示す(全体的に正のバイアスがある)。

年平均気温の再現性(YSケースの例示)  
(左)観測値とモデル計算値の相関図  
(横軸:観測値、縦軸:NHRCMモデルによる計算値(ともに20年平均気温))  
(右)観測値に対するモデル計算値の差の分布(YSケースの例示)

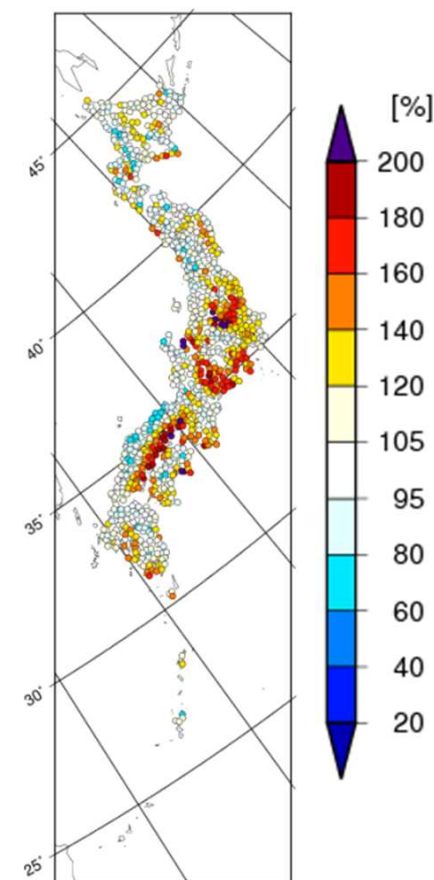
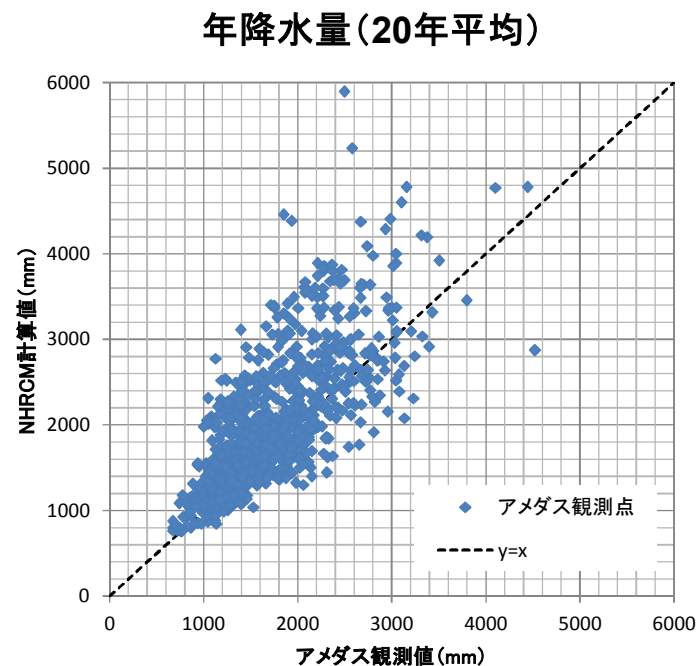


## 【参考資料 I】現在気候の再現性／降水

### ●年降水量の再現性

- 雨量の多い地域でばらつきが大きく、特に観測値よりモデル値の方が大きい点が目立つ。
- 気象庁 地球温暖化予測情報第8巻で用いられたモデルと比較し、降水量を多く見積もる傾向があるが、誤差の大きさとしては同程度である。
- 瀬戸内海沿岸、東海地方、関東地方北部は高めの値をとる。

年降水量の再現性(YSケースの例示)  
(左)観測値とモデル計算値の相関図  
(横軸:観測値、縦軸:NHRCMモデルによる計算値(ともに20年平均年降水量))  
(右)観測値に対するモデル計算値の比率の分布(YSケースの例示)



## 【参考資料Ⅱ】バイアス補正について

---

### ●バイアス補正の必要性

- 気温の階級別日数や大雨の出現頻度等、閾値が関係する統計量の変化は、気候モデルの出力値と現実の観測の出現頻度が十分に一致していないと、バイアスが増幅されて変化量の算出に影響し、適切な予測値を得られない場合がある。（気象庁 地球温暖化予測情報 第8巻より引用）

### ●気温のバイアス補正

- 観測値と、モデルの対応する格子点を比較して、平均気温と日較差（最低気温と最高気温の差）および歪度（日平均気温と日最低気温の差を日較差で割ったもの）に対し、観測値とモデル計算値（現在気候）を線形関係と仮定して補正した。将来気候の計算値に対しても同様の補正式を用いた。
- 真夏日日数・真冬日日数の算出の際、バイアス補正後の値を用いた。

### ●降水量のバイアス補正

- 日降水量の観測値とモデル計算値を地域別・月別に多い方から順に並べ、サンプルの少ない方に降水日数を合わせた。その後、95パーセンタイル値以上の強い降水に関し、観測値、モデル計算値（現在気候）ともガンマ分布の確率密度関数に従うと仮定し、それらの累積頻度分布を揃えるようにモデル計算値を補正した。将来気候の計算値に対しても同様の補正式を用いた。
- 大雨日数・無降水日日数の算出の際、バイアス補正後の値を用いた。

## 【参考資料Ⅲ】予測結果のデータ管理

- 温暖化予測の計算結果は、今後温暖化の影響評価に利用するため、文部科学省の地球環境情報統融合プログラムにおいて構築された「データ統合・解析システム(DIAS)」にて保存し、公開する。DIASに登録することで下記公開サイトからデータを取得することができる。

### DIASにて保存・公開するデータ

| 内容                                      | データ形式                          | 主な用途                         |
|---|--------------------------------|------------------------------|
| 全球気候モデル計算結果<br>(raw data)               | バイナリ形式                         | 結果検証用、気象研究関係者用 等             |
| 地域気候モデル計算結果<br>(raw data, 統計値, バイアス補正值) | バイナリ形式、<br>NetCDF形式、<br>テキスト形式 | 研究者・自治体担当者による<br>影響評価、適応計画検討 |

### ●データ公開サイト(要ログイン)

- 全球気候モデル計算結果(データセットID: GCM60\_ADAPT2013)  
<http://dias-dss.tkl.iis.u-tokyo.ac.jp/dl/storages/filelist/dataset:214>
- 地域気候モデル計算結果(データセットID: NHRCM20\_ADAPT2013)  
<http://dias-dss.tkl.iis.u-tokyo.ac.jp/dl/storages/filelist/dataset:215>

## 【参考資料Ⅳ】RCPシナリオについて

---

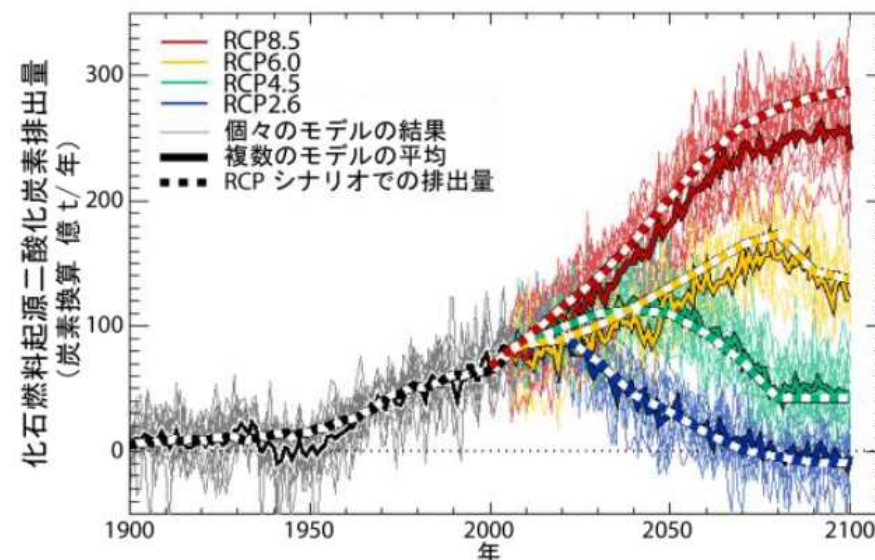
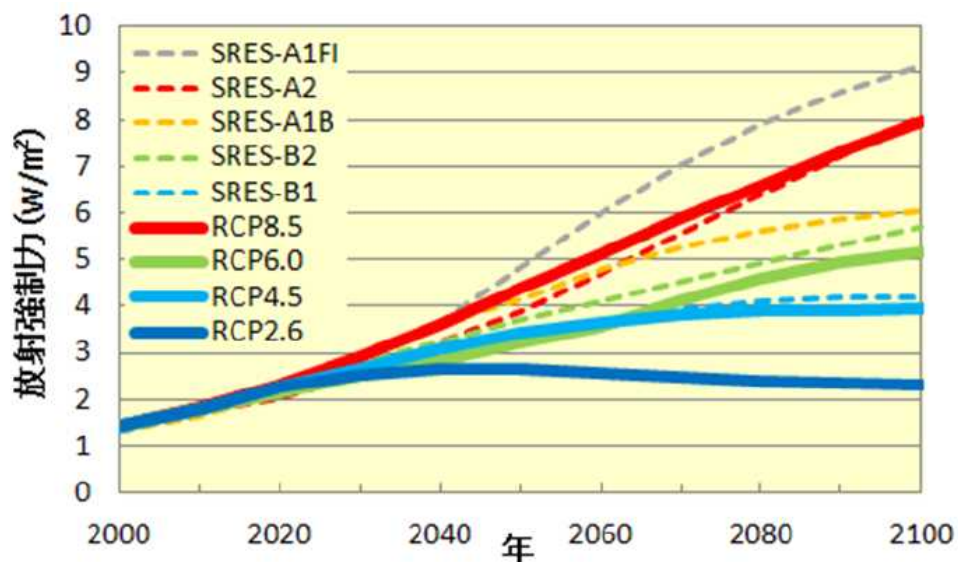
### ●RCP(代表的濃度経路)シナリオ

- 政策的な温室効果ガスの緩和策を前提として、将来の温室効果ガス安定化レベルとそこに至るまでの経路のうち代表的なもの(代表的濃度経路)を選び作成したシナリオ
- 気候変動に関する政府間パネル(IPCC)第5次評価報告書から、このシナリオ区分に基づいた気候の予測や影響評価が行われるようになった
- 従来のSRESシナリオに基づいた予測と違い、目標主導型の社会経済シナリオを複数作成して検討することが可能
- RCPに続く数値は、2100年における1750年に対するおおよその合計放射強制力(単位:W/m<sup>2</sup>)を示し、大きいほど2100年における放射強制力が大きい

※放射強制力:ある因子が持つ、地球-大気システムに出入りするエネルギーのバランスを変化させる影響力の尺度であり、潜在的な気候変動メカニズムとしてのその因子の重要性の指標である。正の放射強制力には地表面を昇温させる傾向が、負の放射強制力には地表面を降温させる傾向がある。(IPCC第4次報告書第一作業部会 政策決定者向け要約より)

## 【参考資料Ⅳ】RCPシナリオについて

| シナリオ略称 | シナリオ名称    | 放射強制力の変化               |
|--------|-----------|------------------------|
| RCP8.5 | 高位参照シナリオ  | 2100 年以降も上昇が続く         |
| RCP6.0 | 高位安定化シナリオ | 2100 年以降に安定化する         |
| RCP4.5 | 中位安定化シナリオ | 2100 年までに安定化する         |
| RCP2.6 | 低位安定化シナリオ | 2100 年までにピークを迎えその後減少する |



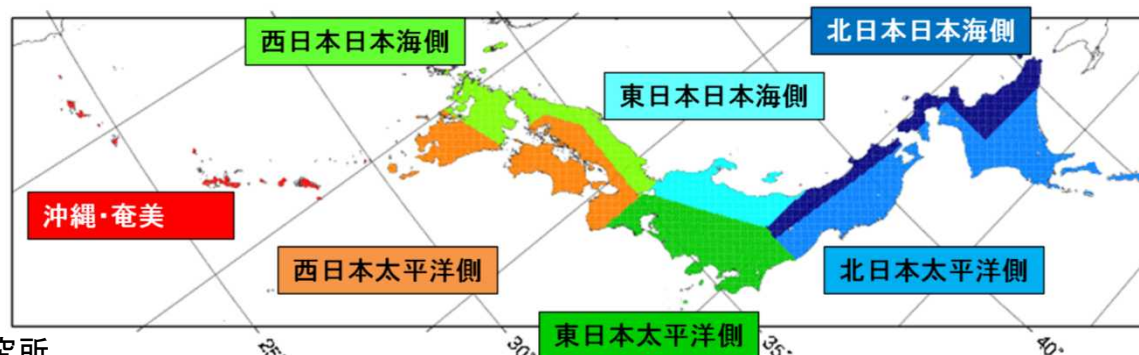
(左)RCP シナリオに基づく放射強制力(RCP シナリオで定める 4 つの放射強制力の経路を実線で示す。比較のため SRES シナリオに基づいて求めた放射強制力を破線で示す。)

(右)RCP シナリオに対応する化石燃料からの二酸化炭素排出量(地球システムモデルによる逆算の結果。細線:個々のモデルの結果、太線:複数のモデルの平均)

文部科学省・経済産業省・気象庁・環境省 2013年9月27日報道発表資料をもとに作成

## 【参考資料V】地域分類・各地域の主な都市における各指標の平年値

### ●地域分類



出所) 気象庁気象研究所

7地域の名称と領域

### ●各地域の主な都市における各指標の平年値

※ 平年値: 1981~2010年(昭和56年~平成22年)の30年間の観測値から求めた平均値

各地域の主な都市における各指標の平年値

| 地域      | 都市例 | 年平均気温<br>(°C) | 日最高気温<br>の年平均値<br>(°C) | 日最低気温<br>の年平均値<br>(°C) | 真夏日の<br>年間日数<br>(日) | 真冬日の<br>年間日数<br>(日) | 年降水量<br>(mm) | 日降水量1.0ミリ<br>未満の年間日数<br>(日) |
|---------|-----|---------------|------------------------|------------------------|---------------------|---------------------|--------------|-----------------------------|
| 北日本日本海側 | 札幌  | 8.9           | 12.9                   | 5.3                    | 8.0                 | 45.0                | 1106.5       | 225.5                       |
| 北日本太平洋側 | 釧路  | 6.2           | 10.2                   | 2.3                    | 0.1                 | 44.7                | 1042.9       | 276.7                       |
| 東日本日本海側 | 新潟  | 13.9          | 17.6                   | 10.6                   | 33.5                | 1.1                 | 1821.0       | 192.8                       |
| 東日本太平洋側 | 東京  | 16.3          | 20.0                   | 13.0                   | 48.5                | 0.0                 | 1528.8       | 263.6                       |
| 西日本日本海側 | 福岡  | 17.0          | 20.9                   | 13.6                   | 57.1                | 0.0                 | 1612.3       | 253.7                       |
| 西日本太平洋側 | 大阪  | 16.9          | 21.1                   | 13.3                   | 73.2                | 0.0                 | 1279.0       | 266.8                       |
| 沖縄・奄美   | 那覇  | 23.1          | 25.7                   | 20.8                   | 96.0                | 0.0                 | 2040.8       | 243.1                       |

出所) 気象庁ホームページ (<http://www.data.jma.go.jp/obd/stats/etrn/>)

## 【参考資料VI】現在気候再現計算結果(例)

### ●真夏日日数の現在気候再現値(季節別)

※バイアス補正(参考資料参照)後のデータを使用

現在気候再現値(YS, KF, ASの平均)

| (単位:日)  | 年    | 春   | 夏    | 秋    | 冬   |
|---------|------|-----|------|------|-----|
| 全国      | 22.6 | 0.1 | 20.4 | 2.2  | 0.0 |
| 北日本日本海側 | 6.8  | 0.0 | 6.4  | 0.3  | 0.0 |
| 北日本太平洋側 | 7.0  | 0.0 | 6.6  | 0.3  | 0.0 |
| 東日本日本海側 | 21.9 | 0.1 | 20.3 | 1.5  | 0.0 |
| 東日本太平洋側 | 27.9 | 0.2 | 24.9 | 2.8  | 0.0 |
| 西日本日本海側 | 35.4 | 0.2 | 31.8 | 3.4  | 0.0 |
| 西日本太平洋側 | 39.5 | 0.1 | 34.8 | 4.5  | 0.0 |
| 沖縄・奄美   | 66.2 | 0.2 | 52.9 | 13.1 | 0.0 |

【参考】平年値(東京)  
 春(3~5月) : 0.3日  
 夏(6~8月) : 40.4日  
 秋(9~11月) : 7.8日  
 冬(12~2月) : 0.0日

現在気候再現値(YSのみ)

| (単位:日)  | 年    | 春   | 夏    | 秋    | 冬   |
|---------|------|-----|------|------|-----|
| 全国      | 22.7 | 0.1 | 20.3 | 2.2  | 0.0 |
| 北日本日本海側 | 6.7  | 0.0 | 6.3  | 0.3  | 0.0 |
| 北日本太平洋側 | 7.1  | 0.1 | 6.7  | 0.4  | 0.0 |
| 東日本日本海側 | 21.9 | 0.1 | 20.2 | 1.6  | 0.0 |
| 東日本太平洋側 | 27.9 | 0.2 | 24.8 | 2.9  | 0.0 |
| 西日本日本海側 | 35.4 | 0.2 | 31.8 | 3.4  | 0.0 |
| 西日本太平洋側 | 39.4 | 0.2 | 34.7 | 4.6  | 0.0 |
| 沖縄・奄美   | 66.1 | 0.2 | 52.7 | 13.2 | 0.0 |

【参考】平年値(那覇)  
 春(3~5月) : 1.6日  
 夏(6~8月) : 70.3日  
 秋(9~11月) : 24.0日  
 冬(12~2月) : 0.0日

表中の値は、モデル計算結果の地域平均である。上記[参考]の平年値(一地点の観測値)と単純に比較できるものではない。

## 【参考資料VI】現在気候再現計算結果(例)

### ●無降水日数の現在気候再現値(季節別)

※バイアス補正(参考資料参照)後のデータを使用

現在気候再現値(YS, KF, ASの平均)

| (単位:日)  | 年     | 春    | 夏    | 秋    | 冬    |
|---------|-------|------|------|------|------|
| 全国      | 245.5 | 61.5 | 63.1 | 63.7 | 57.0 |
| 北日本日本海側 | 214.9 | 57.4 | 67.6 | 55.9 | 34.0 |
| 北日本太平洋側 | 251.3 | 62.5 | 69.1 | 63.5 | 56.0 |
| 東日本日本海側 | 206.4 | 55.1 | 59.9 | 57.4 | 34.1 |
| 東日本太平洋側 | 261.0 | 64.8 | 59.9 | 64.5 | 71.7 |
| 西日本日本海側 | 249.8 | 62.0 | 62.6 | 68.9 | 56.3 |
| 西日本太平洋側 | 258.3 | 62.5 | 59.4 | 67.6 | 68.7 |
| 沖縄・奄美   | 227.4 | 57.6 | 46.9 | 58.6 | 64.4 |

【参考】平年値(新潟)  
 春(3~5月) : 54.8日  
 夏(6~8月) : 61.3日  
 秋(9~11月) : 47.1日  
 冬(12~2月) : 29.5日

現在気候再現値(YSのみ)

| (単位:日)  | 年     | 春    | 夏    | 秋    | 冬    |
|---------|-------|------|------|------|------|
| 全国      | 254.3 | 63.0 | 67.1 | 65.1 | 59.0 |
| 北日本日本海側 | 217.9 | 59.3 | 68.3 | 56.3 | 33.8 |
| 北日本太平洋側 | 257.3 | 64.0 | 70.6 | 64.1 | 58.4 |
| 東日本日本海側 | 217.0 | 56.8 | 64.1 | 59.6 | 36.6 |
| 東日本太平洋側 | 270.4 | 66.0 | 64.9 | 66.1 | 73.4 |
| 西日本日本海側 | 261.4 | 63.4 | 67.9 | 70.6 | 59.5 |
| 西日本太平洋側 | 270.1 | 63.6 | 65.8 | 69.5 | 71.0 |
| 沖縄・奄美   | 239.2 | 59.7 | 53.2 | 61.6 | 64.8 |

【参考】平年値(東京)  
 春(3~5月) : 61.9日  
 夏(6~8月) : 62.6日  
 秋(9~11月) : 63.4日  
 冬(12~2月) : 75.8日

表中の値は、モデル計算結果の地域平均である。上記[参考]の平年値(一地点の観測値)と単純に比較できるものではない。